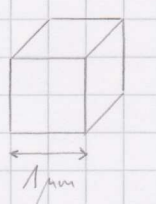


I Die Oberfläche

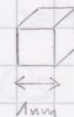
I.1 Was ist eine Oberfläche?

- Periodizität des Kristalls wird an der Oberfläche gebrochen
- Dimension ändert sich von 3D auf 2D
- Fundamentale Folgen für die Thermodynamik
- Dramatische Auswirkungen auf elektronische Zustandsdichten
- Elektronische Eigenschaften verändern sich durch Symmetriebrechung

Auch in Nanostrukturen spielen Oberflächen und Grenzflächen eine Rolle.

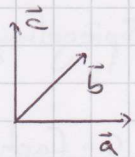


$\frac{1}{3}$ nm Atomabstand
0,2% Oberflächenatome



96% OF-Atome

I.2 Kristalle in 3 Dimensionen



$\vec{a}, \vec{b}, \vec{c}$, Basisvektoren

Kristall ist invariant unter Translation um

$$h\vec{a} + k\vec{b} + l\vec{c}, \quad h, k, l \in \mathbb{Z}$$

In 3D gibt es 14 Bravaisgitter

primitiv P, flächenzentriert F, raumzentriert I

Punktguppe: beschreibt Symmetrie der Einheitszelle

in 3D: 32 Elemente d. Punktguppe

Hermann-Mauguin Notation (HM)

n: n-fache Rotationsachse ($n = 1, 2, 3, 4, 6$)

\bar{n} : " + Inversion

m: Spiegelebene

w_m : Drehung + Spiegelung \perp zur Drehachse

$1, \bar{1}$	triklin
$2, m, \bar{2}/m$	monoklin
$\bar{2}2\bar{2}, mm\bar{2}, mmm$	orthorombisch
$4, \bar{4}, 4/m, 422, \bar{4}2m, 4/\bar{m} mm, 4mm$	tetragonal
$\bar{3}, \bar{3}, 32, 3m, \bar{3}m$	trigonal
$6, \bar{6}, 6/\bar{m}, 622, 6mm, \bar{6}2m, 6/\bar{m} mm$	hexagonal
$2\bar{3}, m\bar{3}, 432, \bar{4}3m, m\bar{3}m$	kubisch

Aus 14 Bravais-Gittern und 32 Elementen der Punktgruppe ergeben sich in 3D 230 Elemente der Raumgruppe.

I.3 2D Gitter, die Tapetengruppe

nur 5 Grundgitter

Punktgruppen in 2D:

H M

Schoenflies-Notation

1

c

keine Symmetrie

1m

C_s

eine Spiegelung

2m

C_{2v}

2, 3, 4, 6-fache

3m

C_{3v}

Rotation + Spiegelung

4m

C_{4v}

6m

C_{6v}

2

C_2

3

C_3

2, 3, 4, 6-fache

4

C_4

Rotation

6

C_6

17 Raumgitter

P_1	P_2	P_m	P_g	primitiv
C_m	C_{mm}			zentriert
P_{mm}	P_{mg}	P_{gg}		
P_4	P_{4m}	P_{4g}		
P_3	P_{3m1}	P_{31m}		
P_G	P_{Gm}			

I.4 Das reziproke Gitter

3D: $\tilde{a}_1 = 2\pi \frac{\vec{a}_2 \times \vec{a}_3}{\vec{a}_1 (\vec{a}_2 \times \vec{a}_3)}$ und zyl. Perm.

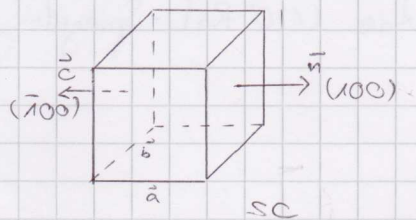
$$(\tilde{a}_1 \tilde{a}_2 \tilde{a}_3)^T = 2\pi (\vec{a}_1 \vec{a}_2 \vec{a}_3)^T$$

$e^{ikR} = 1$, für R Gittervektor und k reziproker Gittervektor

2D: $\tilde{a}_1 = 2\pi \lim_{S \rightarrow 0} \frac{\vec{a}_2 \times S\vec{n}}{\vec{a}_1 (\vec{a}_2 \times S\vec{n})}$, \vec{n} : Normalenvektor auf der Oberfläche

21.10.

I.5 Rekonstruktionen und Überstrukturen



Überstrich \equiv minus

Orientierung des Normalenvektors \vec{n} nach außen.

Runde Klammern (hkl) bezeichnen genau eine Oberfläche

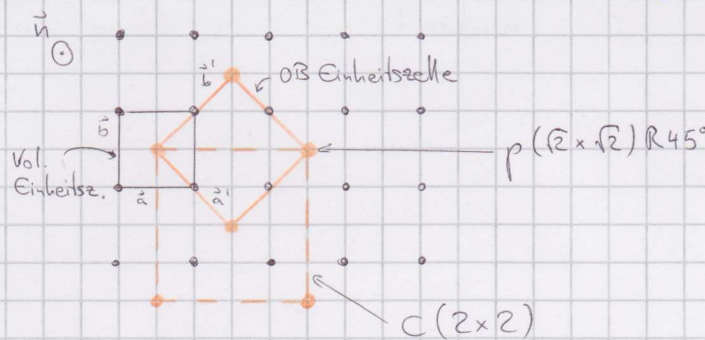
Wenn die Punktgruppe eine Symmetrie vorgibt, die auch das Bravaisgitter hat, so sind einige Oberflächen äquivalent.

$(100), (010), (001), (\bar{1}00), (0\bar{1}0), (00\bar{1})$

Klasse der $\{100\}$ Oberflächen

An Oberflächen können Atome aufgrund der Aufhebung der Translationsinvarianz des Volumenkristalls andere Positionen als die Volumenpositionen annehmen. Dies kann zu einer

Vergrößerung der Einheitszelle der Oberfläche führen. Ist die Oberflächeneinheitszelle größer, so spricht man von "Rekonstruktion".



p: primativ (eine Wiederholung pro EZ)

c: zentriert (zwei Wdh. pro EZ)

R x°: Rotation um x°

Nomenklatur ist nicht eindeutig

Nomenklatur nach Woods:

$$\begin{pmatrix} a \\ b \end{pmatrix} = \begin{pmatrix} t_{11} & t_{12} \\ t_{21} & t_{22} \end{pmatrix} \begin{pmatrix} a' \\ b' \end{pmatrix}$$

↑ ↓

Vektor in Vektor in
Einheiten des Einheiten
Substratgitters des Übergitters

Bsp. oben: $\vec{a}' = \vec{a} - \vec{b}$

$\vec{b}' = \vec{a} + \vec{b}$

$\Rightarrow p(\sqrt{2} \times \sqrt{2}) \hat{=} \begin{pmatrix} 1 & -1 \\ 1 & 1 \end{pmatrix}$

I. 6 Technologisch wichtige Oberflächen

- fcc Kristalle

"Münzmetalle" Cu, Ag, Au, Pt Edelmetalle

Ni, Rh, Pd, Ir Katalysatoren

Bemerkung: {111} hat Psm Symmetrie (120° Rot. + Spiegelung)

wg. tieferen Lagen

fcc: 12 nächste Nachbaratome

Kohäsionsenergie E_c : alle Bindungen werden gebrochen

\Rightarrow pro Bindung $\frac{E_c}{12}$

\Rightarrow Energie pro EZ der Oberfläche:

{111} 3 Bindungen gebrochen $\rightarrow \frac{E_c}{4}$

{100} 4 " " $\rightarrow \frac{E_c}{3}$

{110} 5 " " $\rightarrow \frac{5}{12} E_c$

Energie pro Fläche

0,577 $\frac{E_c}{a^2}$

0,606 $\frac{E_c}{a^2}$

0,707 $\frac{E_c}{a^2}$

Energie pro Fläche:

fmas

Relaxation

Durch Bruchung der Bindungen an der Oberfläche entsteht eine Tendenz der Oberfläche sich stärker an das Volumen zu binden und die Oberflächenatome bewegen sich in Richtung des Volumens.

→ Die ~~Oberfläche~~ oberste Lage "relaxiert" durch Annäherung an die 2. ~~F~~ Lage



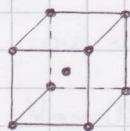
Ni, Cu, Rh, Pd, Ag

{111} und {100} ~ -1%, -2%

{110} Ni, Cu - 9%

bcc - kubisch raumzentriert

W, Mo, Nb, Fe

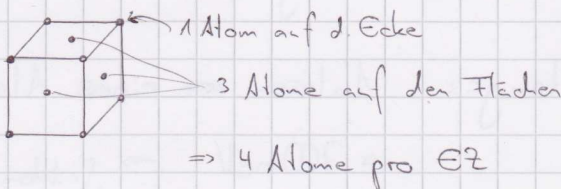


8 Nächste Nachbarn

6 übernächste Nachbarn (15% größer Abstand als n.N.)

Diamant- oder Zinkblende-Struktur

fcc Gitter



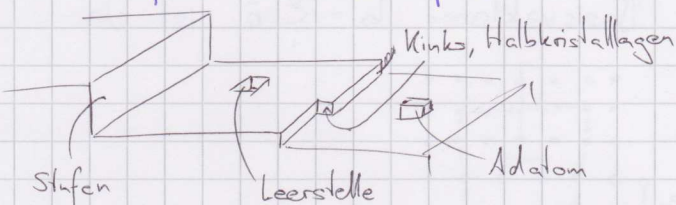
Kramers-Dublett
Jan.-Teller-
Effeld Diamant: 2 fcc Gitter um $(\frac{1}{4}, \frac{1}{4}, \frac{1}{4})$ verschoben,

Wigner-Seitz-Zelle hat 2 Atome

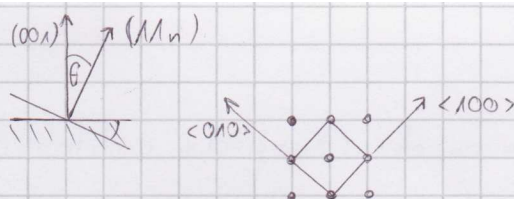
Zinkblende: Untergitter bestehen aus versch. Atomen

Si-Chips: (001) OF
Ge-Chips: Ge auf
(111)-Si OF
Aufdampfen

I.7 Defekte an Oberflächen



Kristall schräg durchschneiden → viziuelle Oberfläche



Verkippen in <110> Richtung \rightarrow gerade Stufen auf der OF

Nanostrukturen an Stufen
durch Anfordampfen
wachsen lassen

magic-cut Kristall
so schneiden, dass an
Stufen periodische
Struktur entsteht, deren
Gitterperiode zu der
des aufdampfenden
Material passst

$$\cos \theta = \frac{\binom{0}{1} \binom{1}{n}}{\left| \binom{0}{1} \right| \cdot \left| \binom{1}{n} \right|} = \frac{n}{\sqrt{2+n^2}}$$

Für (110) OF erhalten wir gerade Stufenkanten und
(001) Terrassen, die $\frac{n}{2}$ Atome breit sind

Halbkristalllage (Kink). Im fcc und sc Kristall ~~ab~~ haben Kinks
auf (100) und (111) Oberflächen genau
 $\frac{1}{2}$ der Koordination wie im Volumen

- Gleichgewichtskonzentration von Kinks ist Boltzmann-verteilt

Bsp.: Cu (100), $E = 120 \text{ meV}$, 300K

$$g_{\text{kink}} = e^{-\frac{120 \text{ meV}}{25 \text{ meV}}} \approx 0.007 \rightarrow \text{alle } 120 \text{ Atome}$$

- „Vakuumdampfdruck“: Kohäsionsenergie Cu: $E_h = 3.5 \text{ eV}$

$$g_{\text{gas}} = e^{-\frac{3.5 \text{ eV}}{25 \text{ meV}}} \approx 1.5 \cdot 10^{-61}$$

- 2D Adatongas: Ablösen eines Atoms von einem Kink

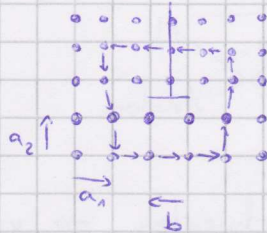
$$\approx 700 \text{ meV} \rightarrow g_{\text{adatom}} = 7 \cdot 10^{-13}$$

- Versetzungen

Def: Der Burgers Vektor \vec{b}

- Man legt einen geschlossenen Pfad um eine Versetzung bestehend aus Basisvektoren

- Die Summe der Basisvektoren $\vec{b} = \sum_i \vec{a}_i$ ist der Burgers Vektor



Stufenversetzung (aus Verbiegung) \xrightarrow{b} I Versetzungslinie

Schrägenversetzung (aus Torsion) \xrightarrow{b} II Versetzungslinie

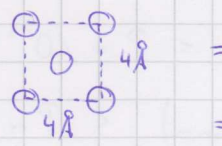
II. Dünne Gase

II.1 Adsorption von Gasen

$$I = P \cdot \sqrt{2\pi m k_B T}^{-1}$$

Bsp.: N_2 , $P = 10^5 \text{ Pa}$, $T = 300 \text{ K}$

$$\Rightarrow I \approx 10^{27} \frac{\text{Moleküle}}{\text{s m}^2}$$

fcc (100):  $\Rightarrow A = 16 \cdot 10^{-20} \text{ m}^2$
 $\Rightarrow \text{pro Atom } 8 \cdot 10^{-20} \text{ m}^2$

$$t = \frac{1}{I \cdot A} = \frac{1}{10^{27} \cdot 8 \cdot 10^{-20}} \text{ s} \approx 10^{-8} \text{ s}$$

$$P = 10^{-3} \text{ Pa} = 10^{-9} \text{ mbar} \rightarrow t = 10^4 \text{ s} \approx 3 \text{ h}$$

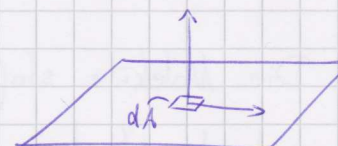
Herleitung für den Fluss I

$$d^2 n_{\theta\varphi} = n \frac{1}{4\pi} \sin\theta d\theta d\varphi$$

$$\int_0^{\pi} \int_0^{2\pi} d^2 n_{\theta\varphi} = n$$

$$d^3 n_{\theta\varphi v} = \frac{1}{4\pi} \sin\theta d\theta d\varphi dv$$

$$\rightarrow d^3 N_{\theta\varphi v} = d^3 n_{\theta\varphi v} \cdot dV \quad | \quad dV = dA dx$$



$$dx = v_x dt \quad \rightarrow dV = dA v \cos\theta dt$$

$$v_x = v \cos\theta$$

$$d^3 N_{\theta\varphi v} = \frac{1}{4\pi} \sin\theta \cos\theta d\theta d\varphi dA dt v dv$$

$$\Rightarrow \frac{N_{\theta\varphi v}}{dA dt} = \frac{1}{4\pi} \iint_0^{2\pi} \sin\theta \cos\theta d\theta d\varphi \int_{n_v}^v v dv, \quad \text{da } \bar{v} = \frac{\int v dv}{\int dv} = \frac{\int v dv}{n_v} = \frac{\int v dv}{n}$$

$$\Rightarrow I = \frac{1}{4} n \bar{v}$$

$$\bar{v} = \int_0^{\infty} f(v) v \, dv \quad | \quad f(v) = \sqrt{\frac{2}{\pi}} \left(\frac{m}{k_B T}\right)^{\frac{3}{2}} v^2 \exp\left(-\frac{mv^2}{2k_B T}\right)$$

$$= \alpha \int_0^{\infty} v^3 \exp\left(-\frac{mv^2}{2k_B T}\right) \, dv \quad | \quad \int_0^{\infty} x^{2m+1} e^{-ax^2} dx = \frac{m!}{2^{m+1}}$$

$$= \frac{2}{\pi} \sqrt{\frac{2k_B T}{m}}$$

$$\Rightarrow I = \frac{1}{2\sqrt{\pi}} \sqrt{\frac{2k_B T}{m}} \cdot n = \frac{n}{\sqrt{2\pi m k_B T}} = \frac{P}{\sqrt{2\pi m k_B T}}$$

\Rightarrow Niedrige Drücke sind extrem wichtig!
~~Staub~~

OF ist sonst schnell mit umgebenden Gas bedeckt

* HV (Hochvakuum) $< P \sim 10^{-4} \text{ Pa} \sim 10^{-6} \text{ mbar}$

** UHV (Ultrahochvakuum) $< P \sim 10^{-7} \text{ Pa} \sim 10^{-9} \text{ mbar}$

*** XHV (extremely high vacuum) $< P \sim 10^{-10} \text{ Pa} \sim 10^{-12} \text{ mbar}$

$$PV = N k_B T \xrightarrow{300K} P = 10^{-8} \text{ Pa} : \quad \frac{N}{V} = 2 \cdot 10^7 \frac{\text{Teilchen}}{\text{cm}^3}$$

$$\text{freie Weglänge } \Lambda = (\sqrt{2} \frac{N}{V} \cdot q)^{-1} \approx 10^5 \text{ m}$$

$$\begin{matrix} \text{Strengwertschnitt} \\ N_e \approx 4 \cdot 10^{-15} \text{ m}^2 \end{matrix}$$

\Rightarrow Die Moleküle stoßen nicht miteinander sondern nur noch mit den Wänden der Vakuumkammer

typische Vakuumparameter apparatur $V \approx 100 \text{ l}$, $A \approx 1 \text{ m}^2$

$$P = 10^{-10} \text{ mbar} = 10^{-8} \text{ Pa} \Rightarrow N = 2 \cdot 10^{12}$$

$$A = 1 \text{ m}^2 \Rightarrow \frac{1}{8 \cdot 10^{20}} \approx 10^{13} \text{ Teilchen auf Oberfläche der Vakuumkammer}$$

Wenn diese in Gasphase übergehen, steigt der Druck um ≈ 7 Größenordnungen

geeignetes Material mit geringem Dampfdruck: 304 Stainless Steel

Zinn oder Blei haben zu hohen Dampfdruck und sind nicht geeignet. Lötzinn, Bronze oder Messing können daher auch nicht verwendet werden

Wasser in Vakuumkammer:

Annahme: Pumpe mit Pumpengeschwindigkeit von 100 l/s

\Rightarrow bis 10^{-10} mbar (10^{-8} Pa) wären das $2 \cdot 10^{12}$ Teilchen/s

Wenn die Vakuumkammer mit einer Molalage H_2O bedeckt ist, benötigt man 120 Tage um diese abzupumpen

$$-20^\circ C \quad P_D = 20 \text{ mbar} \quad \Rightarrow \text{d.h. Faktor } 200$$

$$150^\circ C \quad P_D = 4 \text{ bar}$$

\Rightarrow bei höherer Temp. sinkt die benötigte Zeit.

$$150^\circ C \rightarrow 15 \text{ h}$$

$$250^\circ C \rightarrow 2 \text{ h}$$

Man heizt deshalb UHV-Anlagen aus: "Bake-out"

Nach dem Anheizen besteht das Restgas hauptsächlich aus H/H_2 , da der Edelstahl dafür durchlässig ist

II.3 Vakuumpumpen

- Drehschieberpumpe / Vor-pumpe: bis 10^{-3} mbar

Pumpen sind limitiert durch Dampfdruck des Öls.

- Turbomolekularpumpe: $10^{-2} - 10^{-3}$ mbar (10^{-10} mbar)

Aufbau wie Flugzeugtriebwerk

Rotationsfrequenz $\sim 800 \text{ Hz} = 50000 \frac{\text{U}}{\text{min}}$

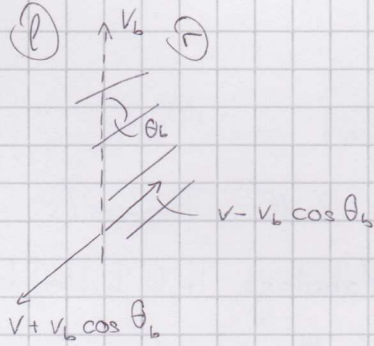
Turbinenradius = 50mm

Geschwindigkeiten der Rotorblätter (außen): $250 \frac{\text{m}}{\text{s}}$

vgl. therm. Geschw. Moleküle: $\bar{v} = \langle v \rangle = \sqrt{\frac{8k_B T}{\pi m}}$

N_e	$\approx 120 \frac{\text{m}}{\text{s}}$
H_2	$\approx 450 \frac{\text{m}}{\text{s}}$

Prinzip: Mechanisch wird die Geschwindigkeitsverteilung verändert, sodass es zu einem Druckunterschied kommt.



$$\text{Fluss} = \rho \cdot v_{\infty}$$

$$\rightarrow = \rho \int_{v_b \cos \theta_b}^{\infty} (v - v_b \cos \theta_b) F(v) dv$$

$$\leftarrow = \rho \int_{v_b \cos \theta_b}^{\infty} (v + v_b \cos \theta_b) F(v) dv$$

$$F(v) = \sqrt{\frac{m}{2\pi k_B T}} \exp\left(\frac{-mv^2}{2k_B T}\right)$$

im Gleichgewicht gilt $\leftarrow = \rightarrow$

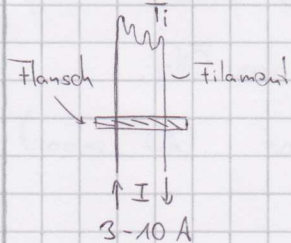
$$\kappa = \frac{P_e}{P_r} \times \frac{P_l}{P_r} = \int_{v_b \cos \theta_b}^{\infty} (v - v_b \cos \theta_b) F(v) dv / \int_{v_b \cos \theta_b}^{\infty} (v + v_b \cos \theta_b) F(v) dv$$

$$\Rightarrow \kappa = \frac{mv_b^2 \cos \theta_b}{2k_B T}$$

Kompressionsdruck muss möglichst groß sein, um Teilchen gut abzupumpen (N_2 besser als H_2)

typische Geschwindigkeit der Pumpe: $50-300 \text{ l/s}$

- Titan sublimationspumpe: bis 10^{-10} mbar



Gasförmiges Titan bindet andere Gasteilchen und setzt sich auf Kammeroberfläche ab.

Vorteil: keine Vibrationen

hohe Pumpleistung $\sim A \bar{v}$, für N_2 : 1200 l/s

- Ionengitterpumpe: bis 10^{-11} mbar

Prinzip: Restgas wird ionisiert und mittels eines "Gitters" gebunden

- Feldemission von Elektronen an der Kathode

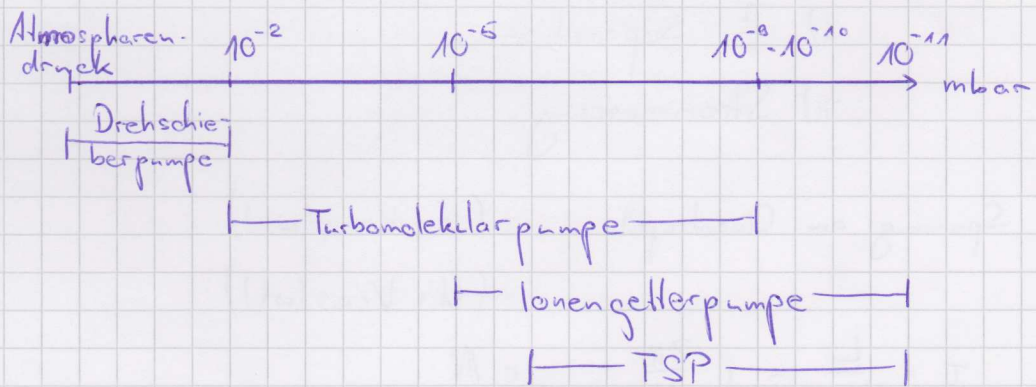
- Elektronen laufen auf Spiralbahn entlang des B-Felds

- besonders lange Bahn \rightarrow hohe Stoßwahrscheinlichkeit

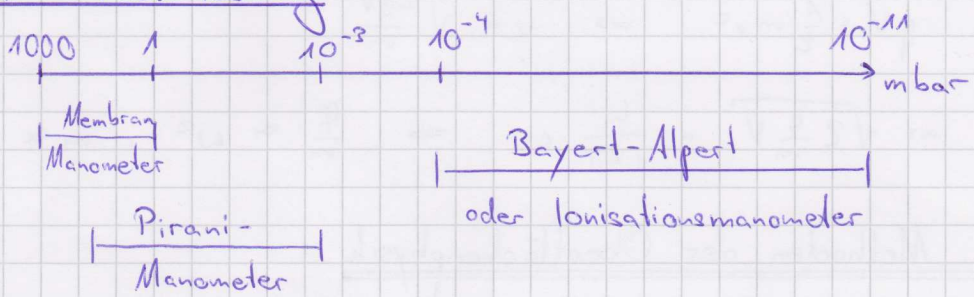
mit Restgas

- Restgas wird ionisiert und auf Kathode beschleunigt.

Dort löst es durch Stoß Ti ab, was sich am Kollektor zusammen mit Restgas adsorbiert.



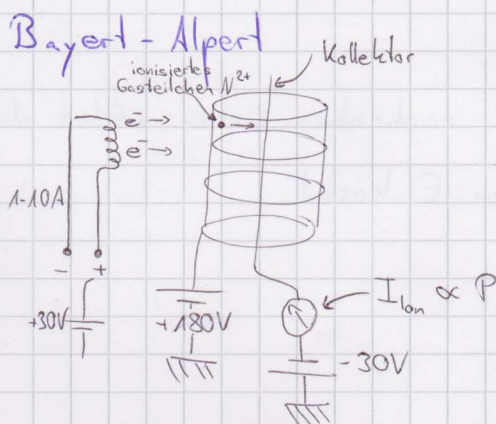
II.4 Druckmessung



Pirani:

Innerhalb gewisser Grenzen ist die ~~Leitfähigkeit~~ Wärmeleitfähigkeit von Gasen druckabhängig. Diese physikalische Erscheinung wird von Pirani zur Druckmessung genutzt.

Filament wird durch Strom aufgeheizt. Bei geringerem Druck des umgebenden Gases (geringere Teilchendichte) kühlt dieses langsamer ab.



Das Massenspektrometer

- Prinzip:
- Ionisation der Gasmoleküle
 - $\frac{q}{m}$ Separation
 - Strommessung

Spannung am Quadrupol: $+ (U + V \cos(\omega t))$
 $- (U + V \cos(\omega t))$

$$T = \frac{L}{v} = i \frac{2\pi}{\omega}, \quad i \in \mathbb{N}$$

\downarrow Geschwindigkeit

$$qV = \frac{1}{2}mv^2 \Rightarrow v = \sqrt{\frac{2qV}{m}}$$

$$\Rightarrow \sqrt{2 \frac{q}{m} V} = \frac{L}{i \cdot 2\pi} \omega \Rightarrow \frac{q}{m} \propto \omega^2, \quad m \propto \omega^{-2}$$

III. Methoden der Oberflächenphysik

III.1 Kristallpräparation

(a) Czochralski-Verfahren / Tiegelzieh-Verfahren / Ziehen aus der Schmelze

- Im Tiegel wird die zu kristallisierende Substanz wenige Grad über dem Schmelzpunkt gehalten

wichtig: Innerhalb des Ostwald-Miess-Bereiches, in dem keine spontane Kristallbildung stattfindet.

- In die Oberfläche der Schmelze wird ein Keim (z.B. kleiner Einkristall) eingetaucht.
- Durch Drehen und langsames nach oben ziehen wächst das erstarrende Material zu einem Einkristall.

(b) Solid-Phase-Epitaxy

Oberflächenpräparation

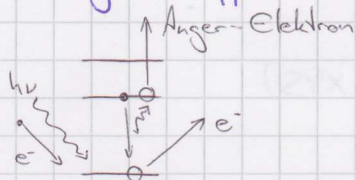
- (a) Spalten im UHV
- (b) Tempern
- (c) Chemische Reaktion
(Ätzen, Aufdampfen MBE, CVD)
- (d) Ionen-Sputtern
- (e) Kombination von a, b, c, d

	Vorteil	Nachteil
(a) Spalten	<ul style="list-style-type: none">• einfach (saubere OF)• stöchiometrisch• metastabile OF	<ul style="list-style-type: none">• nicht für alle Oberflächen (nur spröde Materialien, z.B. ZnO, TiO_2, Si, Ge, GaAs, InP, ...)• metastabile Oberflächen Rekonstruktion $Si: (2 \times 1) \neq$ normal (7×7)• viele Stufen• nicht für alle OF-Orientierungen

III. 2 Chemische Analyse

- AES Auger-Elektronen-Spektroskopie

Auger-Effekt



primärer Prozess:

- Ionisation des Atoms durch Elektron oder Photon
- Loch in einer ~~in~~ inneren Schale

sekundärer Prozess:

- Rumpfloch hat Lebensdauer $\tau \approx \frac{\hbar}{\Delta E}$
- Zerfall über
 - Röntgenfluoreszenz \rightarrow für große Z
 - Augerelektron

Endzustand bei Auger-Zerfall besitzt zwei Löcher

\Rightarrow Wasserstoff kann nicht gemessen werden

Energiebilanz: Bsp KL₁L₂-Prozess

$$\begin{aligned} E_{\text{Auger}} &= E_i(N-1) - E_f(N-2) \\ &= E_B(K) - E_B(L_1) - E_B(L_2) - U_{\text{eff}} \end{aligned}$$

U_{eff} : Coulomb-UV der beiden Elektronen

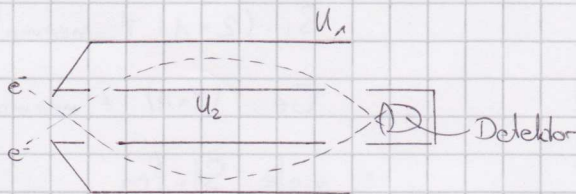
Virkungsquerschnitt: $W = |\langle \text{Anfangszustand} | V | \text{Endzustand} \rangle|^2$

$$W_{KL_1L_2} \propto |\langle \psi_{1s}(\vec{r}_1) e^{ik\vec{r}_2} \left| \frac{e^2}{|\vec{r}_1 - \vec{r}_2|} \right| \psi_{2s}(\vec{r}_1) \psi_{2s}(\vec{r}_2) \rangle|^2$$

\Rightarrow Augerprozess ist unabhängig von Z

keine Dipol-Auswahlregeln, da UV über Coulomb-Pot.

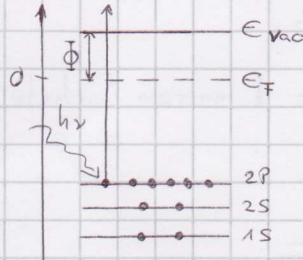
Cylindrical Mirror Analyzer (CMA)



Die Elektronen von einem Kegel werden durch zwei zylindrische geförmte Elektroden auf einen Bildpunkt fokussiert.

(z.B. Channeltron) Durch U_1, U_2 wird bestimmt welche Elektronen (mit welcher Energie) den Detektor erreichen.

Röntgenphotoelektronenspektroskopie (XPS)

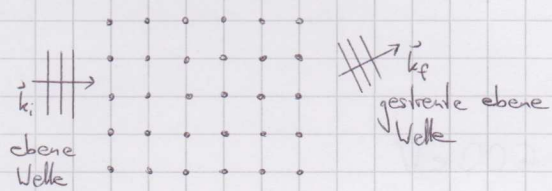


$$h\nu = E_{\text{kin}} + E_{\text{Bindung}} + E_{\phi}$$

Anfangsphoton (bekannt)
 Röntgenstrahlung (bekannt)
 Austrittsarbeit (bekannt)

III. 3 Beugungsmethode

3D



$$\vec{q} = \vec{k}_f - \vec{k}_i$$

Streuvektor

gestreute Welle: $\psi(\vec{q}, \vec{k}_i) = \frac{1}{N} \sum_n^{\text{Einheitszelle}} \psi_n(\vec{q}, \vec{k}_i) e^{i\vec{q}\vec{r}_n}$

$$\psi^{\text{EZ}}(\vec{q}, \vec{k}_i) = \sum_{j \in \text{EZ}} f_j(\vec{q}, \vec{k}_i) e^{i\vec{q}\vec{r}_j}$$

Intensität: $I = |\psi|^2 = |F|^2 |G|^2$

$|G|^2$ Gitterfaktor
 $|F|^2$ Streufaktor

$$|F|^2 = |\psi^{\text{EZ}}(\vec{q}, \vec{k}_i)|^2$$

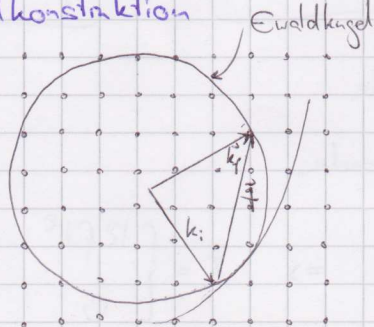
$$|G|^2 \Rightarrow \text{für } \infty\text{-ausgedehnten Kristall}$$

$$\begin{cases} 1, & \vec{q} = h\hat{a} + k\hat{b} + l\hat{c} \\ 0, & \text{sonst} \end{cases}$$

$$(\text{da } e^{i\vec{q}\cdot(\vec{a}+l\vec{b}+m\vec{c})} = 1)$$

Ewaldkonstruktion

3D



- Im Zentrum der Ewaldkugel liegt der Ursprung des Realraums, in dem sich der zu messende Kristall befindet
- Der Radius der Kugel beträgt $R = \frac{2\pi}{\lambda}$, λ -Wellenlänge des einfallenden Strahls

- Drehung des Kristalls um den Ursprung des Realraums führt zu einer Drehung des reziproken Gitters um den Ursprung des reziproken Raums
- Bei Variation von $|k_i|$, also der Energie der einfallenden Welle verschwinden oder erscheinen Gitterpunkte auf der Ewaldkugel.

relevante Elektronenergien

$$E = \frac{\hbar^2 k^2}{2m} \Rightarrow |\vec{k}| = \sqrt{\frac{150}{E[\text{eV}]}}$$

$$E = 37.5 \text{ eV} \Rightarrow \lambda = 2 \text{ Å}$$

\Rightarrow Energien von 10-600 eV

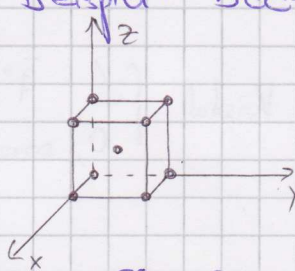
Photonen: $E = 10 \text{ eV}$ (X-Ray)

Elektronen: 10-600 eV

Neutronen: $\sim 100 \text{ meV}$

He-Atome $\sim 10 \text{ meV}$ (bei tiefen Temp) sonst $k_B T > E_{\text{He}}$

Beispiel: bcc-Gitter



Atome bei $(0,0,0)$, $(\frac{1}{2}, \frac{1}{2}, \frac{1}{2})$

$$\psi^{E2}(\vec{q}, \vec{k}_1) = f_1(\vec{q}, \vec{k}_1) e^{i\vec{q}(\frac{0}{0})} + f_2(\vec{q}, \vec{k}_1) e^{i\vec{q}(\frac{1}{1/2})}$$

$$\psi^{E2} = \underbrace{f_1 \exp(2\pi i (h \cdot 0 + k \cdot 0 + l \cdot 0))}_{=1} + \underbrace{f_2 \exp(2\pi i (\frac{1}{2}h + \frac{1}{2}k + \frac{1}{2}l))}_{=(-1)^{h+k+l}}$$

$$F = \begin{cases} f_1 + f_2, & h+k+l \text{ gerade} \\ f_1 - f_2, & h+k+l \text{ ungerade} \end{cases}$$

$$f_1 = f_2 = f \Rightarrow F = \begin{cases} 2f & \\ 0 & \end{cases} \Rightarrow I = \begin{cases} |2f|^2 & \\ 0 & \end{cases}$$

Realkoordinaten

$$3D \quad \vec{a}, \vec{b}, \vec{c}$$

$$2D \quad \vec{a}, \vec{b}, |\vec{c}| \rightarrow \infty$$

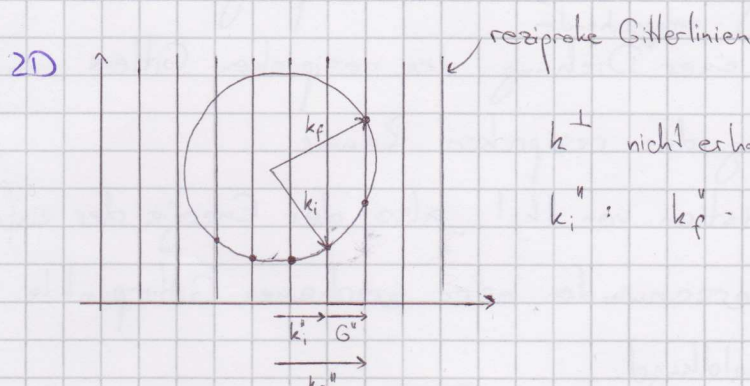
Reziproker Raum

$$\tilde{a}, \tilde{b}, \tilde{c}$$

$$\tilde{a}, \tilde{b}, |\tilde{c}| \rightarrow 0$$

$$\tilde{q} = h\tilde{a} + k\tilde{b} + l\tilde{c}$$

$$\begin{matrix} h, k, l \in \mathbb{Z} \\ \varepsilon \rightarrow R \end{matrix}$$



k^\perp nicht erhalten

$$k_i'' : k_f'' \cdot k_i'' = G''$$

Durch Variation von k_i (Energie) sieht man hohe Beugungsreflexe,

Low Energy Electron Diffraction (LEED)

Interpretation von LEED Bildern

Realraum: $\vec{a}_S = G_{11} \vec{a} + G_{12} \vec{b}$

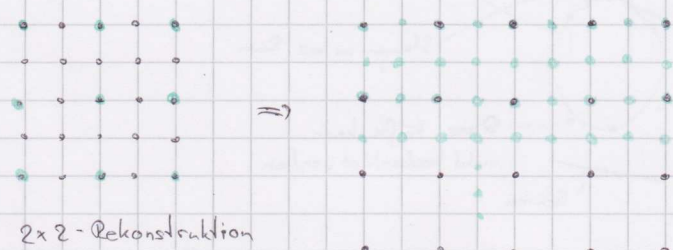
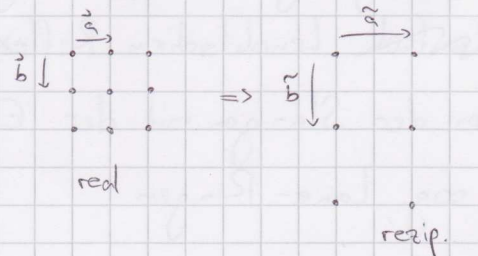
Superstruktur $\vec{b}_S = G_{21} \vec{a} + G_{22} \vec{b}$

Reziproker Raum: $\tilde{\vec{a}}_S = \tilde{G}_{11} \tilde{\vec{a}} + \tilde{G}_{12} \tilde{\vec{b}}$

$\tilde{\vec{b}}_S = \tilde{G}_{21} \tilde{\vec{a}} + \tilde{G}_{22} \tilde{\vec{b}}$

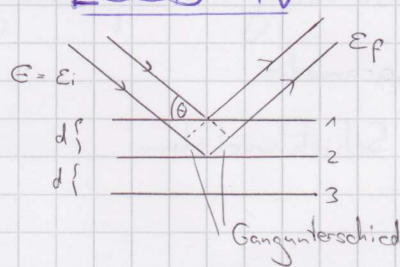
$$\Rightarrow \tilde{G} = (G^{-1})^T$$

$$\tilde{G}_{11} = \frac{G_{22}}{\det G}, \quad \tilde{G}_{12} = \frac{G_{21}}{\det G}, \quad \tilde{G}_{21} = \frac{G_{12}}{\det G}, \quad \tilde{G}_{22} = \frac{G_{11}}{\det G}$$



Intensity Voltage

LEED - IV



$$\text{Gangunterschied} = n\lambda$$

$$d \sin \alpha + d \sin \beta = 2d \sin \theta = n\lambda$$

$$E_i = E_f$$

$$E - E_{\text{kin}} + V = \frac{\hbar^2 k^2}{2m} + V$$

$$\Rightarrow \lambda^2 = \frac{\hbar^2 h^2}{2m(E-V)}$$

inneres Potential

$$\frac{\hbar^2 k^2}{2m} + V$$

$$\Rightarrow E = \frac{\hbar^2}{8md^2 \sin^2 \theta} n^2 + V$$

Experiment: konst. θ
messe $E(n^2)$
bzw. numeriere
Maxima der
Reflexe bei
 n^2 versch. E

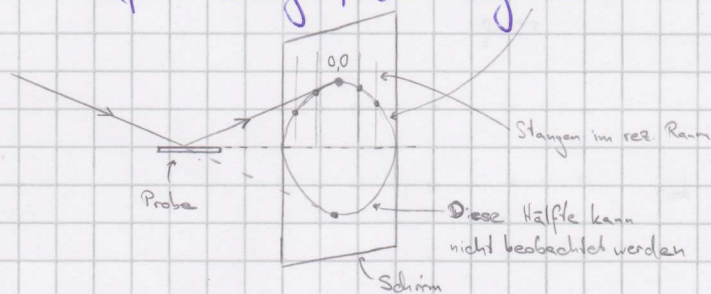
Reflection High Energy Electron Diffraction (RHEED)

Betriebsparameter:

- Elektronenenergie im Bereich von 10-50 keV
- Der streifende Einfall des Elektronenstrahls bewirkt eine hohe Oberflächenempfindlichkeit aufgrund der geringen vertikalen Eindringtiefe der Elektronen

Entstehung des Beugungsbildes:

- Die an der periodisch angeordneten Oberfläche elastisch gestreuten Elektronen mit genügend hoher Energie erzeugen auf dem festen Leuchtschirm Reflexe.
⇒ An den Schnittpunkten der Stangen mit der Ewaldkugel auf Kreisbögen, den sog. Laue-Ringen



Vorteil: Die Beobachtung des Beugungsbildes während der Präparation ermöglicht die Bestimmung und Optimierung der jeweiligen Präparationsparameter.

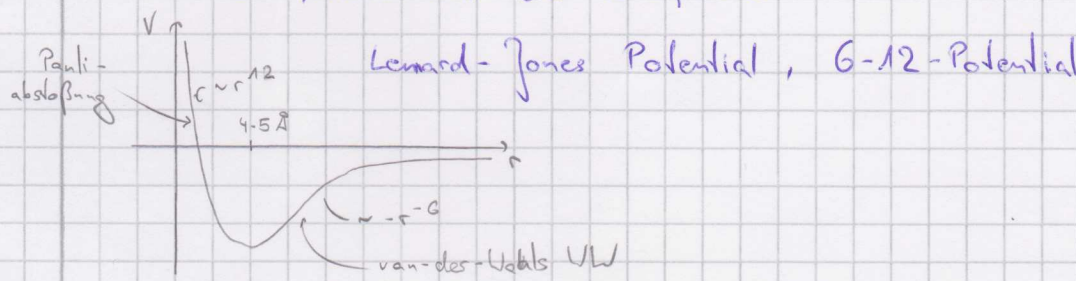
→ RHEED-Oszillationen bei Schichtwechseln

Eindringtiefe RHEED: ~10 nm

Streuung thermischer Atome

→ thermal energy atom scattering (TEAS)

WW von Atomen mit der Oberfläche



Energie der He-Atome: 5-15 meV

→ geringe kinetische Energie im Vergleich mit Potentialtiefe

⇒ UW-Querschnitt von etwa 100 \AA^2

1) 2D Analogon zu Neutronenstrahlung

2) repulsiver Anteil des Potentials → He-Atome dringen

nicht in die Oberfläche → streuen nicht mehrfach

⇒ zerstören OF nicht

Streuexperiment bei $T \neq 0$

$$q^{E_2}(\vec{q}, \vec{k}_i) = \sum_{j \in E_2} f_j(\vec{q}, \vec{k}_i) e^{i\vec{q}\vec{r}_j(t)} = F_{hkl}$$

Betrachten wir thermische Bewegungen der Atome, so ist

$$\vec{r}_j(t) \text{ zeitabhängig: } \vec{r}_j(t) = \vec{r}_{j0} + \vec{u}_j(t)$$

$$\langle F_{hkl} \rangle_T = \underbrace{\sum_{j \in E_2} f_j}_{\substack{\text{Phononfreq.: } \sim \text{THz} \\ \text{Dauer Exp.: } \sim s}} \langle \exp(i\vec{q}(\vec{r}_{j0} + \vec{u}_j(t))) \rangle_T$$

$$= \sum_{j \in E_2} f_j \exp(i\vec{q}\vec{r}_{j0}) \langle \exp(i\vec{q}\vec{u}_j(t)) \rangle_T$$

$$\Rightarrow \langle e^{i\vec{q}\vec{u}_j(t)} \rangle_T \approx 1 + \underbrace{\langle i\vec{q}\vec{u}_j(t) \rangle_T - \frac{1}{2} \langle (\vec{q}\vec{u}_j(t))^2 \rangle_T}_{\substack{\text{kleine Auslenkungen} \\ = 0, \text{ da Auslenkung} \\ \text{stat. in alle Richtungen gleich}}} + \dots$$

$$(1) \quad \langle (\vec{q}\vec{u}_j(t))^2 \rangle_T = q^2 \langle |u_j(t)|^2 \rangle_T \underbrace{\langle \cos^2 \theta \rangle_T}_{= \frac{1}{3}} = \frac{\int \cos^2 \theta d\Omega}{\int d\Omega}$$
$$= \frac{1}{3} q^2 \langle |u_j|^2 \rangle_T$$

$$(2) \quad \exp(-\frac{1}{6} \langle |u_j|^2 \rangle_T q^2) \approx 1 - \frac{1}{6} \langle |u_j|^2 \rangle_T q^2 + \dots$$

$$(1), (2) \Rightarrow \langle \exp(i\vec{q}\vec{u}_j(t)) \rangle_T \approx \exp(-\frac{1}{6} \langle |u_j(t)|^2 \rangle_T q^2)$$

$$\Rightarrow \langle F_{hkl} \rangle_T = \sum_{j \in E_2} f_j(\vec{q}, \vec{k}_i) \exp(i\vec{q}\vec{r}_{j0}) \exp(-\frac{1}{6} \langle |u_j|^2 \rangle_T q^2)$$

$$\langle F \rangle_T = |\langle F_{hkl} \rangle_T|^2 = \underbrace{\left| \sum_{j \in E_2} f_j(\vec{q}, \vec{k}_i) \exp(i\vec{q}\vec{r}_{j0}) \right|^2}_{= |\langle F_{hkl} \rangle_T|^2} \exp(-\frac{1}{3} \langle |u_j|^2 \rangle_T q^2)$$

$$I = |F_{hkl}^0|^2 \exp\left(-\frac{1}{3}q^2 \langle \ln^2 \rangle\right)$$

Debye-Waller-Faktor (DWF)

für $q \neq 0 \quad q^2 > 0 \Rightarrow \text{DWF} < 1$

☞ DWF hängt von q^2 ab \Rightarrow große q^2 (hohe Energie) \Rightarrow kleiner DWF

$$\Sigma = \frac{1}{2} M \omega^2 \langle \ln^2 \rangle = \frac{3}{2} \pi k_B T$$

$$\begin{aligned} \langle \ln^2 \rangle &= 3k_B T / M \omega^2 \\ \hbar \omega_D &= k_B \Theta_D \end{aligned}$$

→ Debye-Temperatur

$$\Rightarrow \text{DWF} \sim \exp\left(-\frac{\hbar^2 q^2}{M k_B \Theta_D^2} T\right)$$

↪ mit zunehmender Temperatur nimmt DWF exponentiell ab.

$$\text{Cu: } \Theta_D \approx 343 \text{ K}, \quad \text{Pt: } \Theta_D \approx 229 \text{ K}$$

III.4 Frühe Abbildungstechniken (im Realraum)

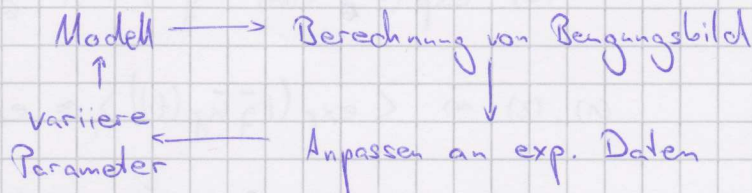
① Photoelektronenbeugung (PED)

- Prinzip:
 - Basiert auf Photo-elektronenspektroskopie
 - Interferenz der Wellenfunktion des Photoelektrons
 - in Abhängigkeit von Emissionsrichtung und kinetischer Energie des Photoelektrons

② Augerelektronenbeugung (AED)

- Prinzip:
 - Augerelektronenspektroskopie
 - ... des Augerelektrons
 - ... des Augerelektrons

Experiment:



③ Feldemissionsmikroskopie (FEM) ④ Feldionenmikroskopie (FIM)

- Probe ist Spitze mit Radius r

$$r = 10 - 100 \text{ nm}$$

- Spannung $V = 1 - 10 \text{ kV}$

- Auflösung $\approx \frac{L}{r}$

L = Abstand Spitzer-Schirm

→ Durch die Masse der e^- ist ihre transversale Impulskomponente nicht gut definiert

- Gase: He oder Ne

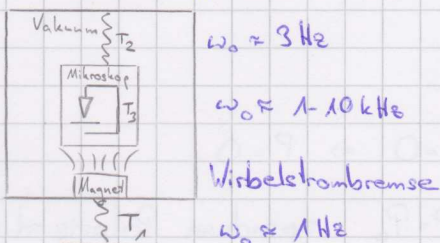
→ höhere Masse \Rightarrow transversale

Impulskomponente wesentlich besser definiert als bei e^- . Dadurch entsteht eine genügend aufgelöste Abbildung der Atome

III.5 Rastertunnelmikroskopie

Im Rastertunnelmikroskop (STM) wird eine metallische Spitze sehr nah an eine leitfähige Probe gebracht, bis Elektronen zwischen Spitze und Oberfläche tunneln können. $d \approx 5 \text{ nm}$

→ Mikroskop muss mechanisch extrem stabil sein.



T_1, T_2 : Transferfunktionen der beiden Dämpfungen

T_3 : des Mikroskops im Tunnelkontakt

Ansatz: harm. Oszillator

$$|A(\omega)| = \frac{F/m}{\sqrt{(\omega_0^2 - \omega^2)^2 + (\frac{\omega \omega_0}{Q})^2}}$$

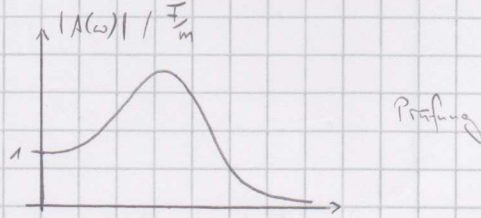
$$\omega_0 = \sqrt{\frac{k}{m}}$$

$$\omega = \omega_0 : |A(\omega_0)| = \frac{F Q}{m \omega_0^2} = \frac{Q F}{k} \quad Q\text{-fache Überhöhung}$$

⇒ Q muss klein sein: 1-2

$\omega \gg \omega_0$: $|A(\omega)| \approx \frac{F/m}{\omega^2} \Rightarrow$ Amplitude fällt mit $\frac{1}{\omega^2}$ ab,
also mit 12 dB pro Oktave
 um das 4-fache bei Verdopplung der Frequenz

$\omega \ll \omega_0$: Taylors liefert $|A(\omega)| = \frac{F}{k} \left(1 + \frac{\omega^2}{\omega_0^2}\right)$

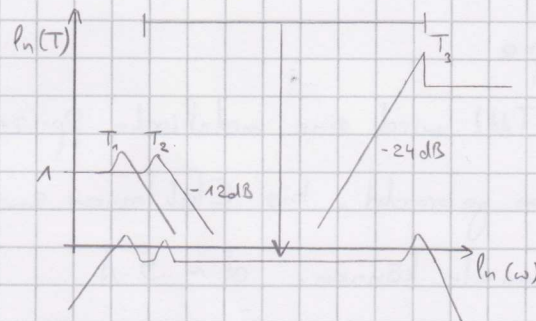


$$A(t) = A(\omega) \cos(\omega t)$$

$$\ddot{A}(t) = -\omega^2 A(\omega) \cos(\omega t)$$

$$\Delta(\omega) = \frac{F}{k} \frac{\omega^2}{\omega_0^2} \cdot \omega^2 \Rightarrow \text{steigt mit } 24 \text{ dB pro Oktave}$$

$$T = T_1 \cdot T_2 \cdot T_3$$



Der Piezoeffekt

$$D = \epsilon_0 E + P = \epsilon \epsilon_0 E$$

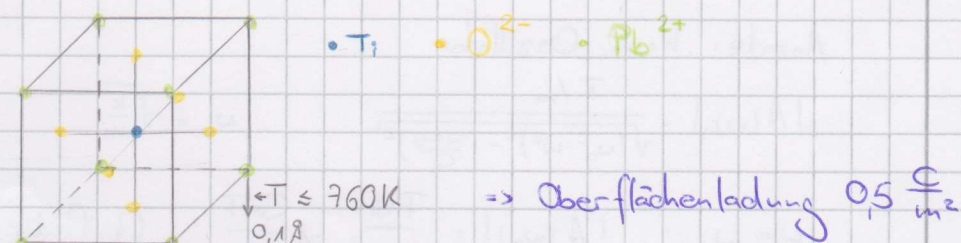
"normale Materialien": $E=0 \Rightarrow P=0$

Ferroelektrika: $E=0$, $P=P_0$ spontane Polarisierung

$$\vec{x} \rightarrow -\vec{x} \Rightarrow \vec{P} \rightarrow -\vec{P}$$

\Rightarrow Ferroelektrika verletzen Inversion

Bsp.: Perowskitte (BaTi_3O_3), PbTi_3O_3



$T > T_c$

$T < T_c$

Piezoeffekt: Legt man ein E -Feld an ein Ferroelektrikum an, kommt es zur Verformung

$$e = z/S + Ed_a \quad \text{Piezokonstante}$$

↑
Verformung mech.
Spannung E -Modul
↓
 d -Feld

$$E \parallel z\text{-Achse}: d_{31} = d_{32} = \frac{\partial e_3}{\partial E_3}$$

$$\text{Querkontraktion: } \approx -(1\dots 3) \frac{\text{Å}}{\text{V}}$$

$$d_{33} = \frac{\partial e_3}{\partial E_3}$$

$$\text{Längsexpansion: } \approx (2\dots 4) \frac{\text{Å}}{\text{V}}$$

$$\text{Tunnelstrom } I \propto e^{-2\sqrt{2m(U-E)} L/t}$$

$$U - \text{Austrittsarbeit } \approx 3\text{-}5 \text{ eV}$$

$$t_h \approx 10^{-34} \text{ s}$$

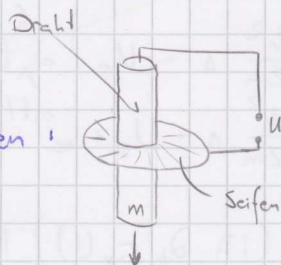
$$m \approx 3,1 \cdot 10^{-31} \text{ kg}$$

$$\Rightarrow \frac{-2\sqrt{2m(U-E)}}{t_h} \approx 2 \cdot 10^{10} \frac{1}{\text{m}}$$

$\Rightarrow 1\text{ Å}$ Abstandsänderung führt zu Stromänderung der

$$\text{Größe } e^2 \times 10$$

Atomar scharfe Spitzen herstellen:



Ätzen nur bei anliegender Spannung \Rightarrow sobald Draht dünn und aufgrund von m reißt, kein Ätzen an unterem Teil mehr \Rightarrow spitz

Bardeen-Modell

s: sample, t: tip

$U_s(r)$: Potential der Probe, $U_t(r)$: Potential der Spitze

$$U(r) = U_s(r) + U_t(r)$$

$$U_s(r) = 0 \text{ auf } G_t, \quad U_t(r) = 0 \text{ auf } G_s$$

$$\text{Probe: } \left(-\frac{\hbar^2}{2m} \Delta + U_s(r) \right) \psi_\lambda^s = E_\lambda^s \psi_\lambda^s$$

$$\text{Spitze: } \left(-\frac{\hbar^2}{2m} \Delta + U_t(r) \right) \psi_\lambda^t = E_\lambda^t \psi_\lambda^t$$

$$\text{Gesamtsystem: } H = H_s + V_t = -\frac{\hbar^2}{2m} \Delta + U_s(r) + U_t(r)$$

Ausatz: Zeitabhängige Störungsberechnung 1. Ordnung

$$\cancel{U_t(t)} \Rightarrow e^{\eta t/h} U_t$$

$$U_t(t) = e^{\eta t/h} U_t, \quad \eta > 0 \Rightarrow t \rightarrow -\infty \quad U_t(t) = 0$$

$$ih \partial_t \psi = \left(-\frac{\hbar^2}{2m} \Delta + U_s + e^{\eta t/h} U_t \right) \psi$$

$$\text{Ansatz: } \psi(r, t) = a_\mu(t) \psi_\mu^s(r) e^{-iE_\mu^s t} + \sum_v c_v(t) \psi_v^t(r) e^{-iE_v^t t}$$

$$\text{Anfangsbedingung: } a_\mu(-\infty) = 1, \quad c_v(-\infty) = 0$$

$$|\psi\rangle = a_\mu(t) e^{-\frac{i}{\hbar} E_\mu^s t} |\psi_\mu^s\rangle + \sum_v c_v(t) e^{-\frac{i}{\hbar} E_v^t t} |\psi_v^t\rangle$$

Näherung: Probe soll durch Spitze nicht verändert werden (Zahl der $e^{\eta t/h}$, die die Probe verlassen ist vernachlässigbar)

$$\Rightarrow a_\mu(t) = 1, \quad \partial_t a_\mu(t) = 0, \quad \text{außerdem } \lim_{\eta \rightarrow 0} (e^{\eta t/h} - 1) = 0$$

$$\Rightarrow ih \partial_t \left(a_\mu^s(t) \psi_\mu^s e^{-\frac{i}{\hbar} E_\mu^s t} + \sum_v c_v(t) \psi_v^t e^{-\frac{i}{\hbar} E_v^t t} \right)$$

$$= \left(-\frac{\hbar^2}{2m} \Delta + U_s \right) a_\mu^s(t) \psi_\mu^s e^{-\frac{i}{\hbar} E_\mu^s t} + e^{\eta t/h} U_t \psi_\mu^s e^{-\frac{i}{\hbar} E_\mu^s t} \\ + \left(-\frac{\hbar^2}{2m} \Delta + U_s + e^{\eta t/h} U_t \right) \sum_v c_v(t) \psi_v^t e^{-\frac{i}{\hbar} E_v^t t}$$

$$\Rightarrow \sum_v (ih \partial_t c_v(t)) |\psi_v^t\rangle e^{-\frac{i}{\hbar} E_v^t t} = e^{\eta t/h} U_t e^{-\frac{i}{\hbar} E_\mu^s t} |\psi_\mu^s\rangle \\ + U_s \sum_v c_v(t) |\psi_v^t\rangle e^{-\frac{i}{\hbar} E_v^t t}$$

$$\stackrel{<\!>}{\Rightarrow} ih \partial_t c_\lambda(t) e^{-\frac{i}{\hbar} E_\lambda^t t} = \langle \psi_\lambda^t | U_t | \psi_\mu^s \rangle e^{-\frac{i}{\hbar} (E_\mu^s + i\eta) t} \\ + \sum_v c_v(t) \langle \psi_\lambda^t | U_s | \psi_v^t \rangle e^{-\frac{i}{\hbar} E_v^t t}$$

$$c_v(-\infty) = 0, \quad \text{Tunnelwahrsch. klein} \Rightarrow c_v \text{ klein}$$

$$\Rightarrow ih \partial_t c_\lambda(t) e^{-\frac{i}{\hbar} E_\lambda^t t} = \langle \psi_\lambda^t | U_t | \psi_\mu^s \rangle e^{-\frac{i}{\hbar} (E_\mu^s + i\eta) t}$$

$$\Rightarrow c_\lambda(t) = \frac{1}{E_\mu^s - E_\lambda^t + i\eta} \langle \psi_\lambda^t | U_t | \psi_\mu^s \rangle e^{-\frac{i}{\hbar} (E_\mu^s - E_\lambda^t + i\eta) t}$$

Wahrscheinlichkeit, dass das e^- getunnelt ist:

$$|c_\lambda(t)|^2 = \frac{1}{(\epsilon_\mu^s - \epsilon_\lambda^t)^2 + \eta^2} e^{2\eta t/\hbar} |<\psi_\lambda^t | U_t | \psi_\mu^s>|^2$$

$$\text{Übergangsrate } \omega_{\mu\lambda}(t) = \frac{d}{dt} |c_\lambda(t)|^2 = \frac{2\eta}{(\epsilon_\mu^s - \epsilon_\lambda^t)^2 + \eta^2} \frac{e^{2\eta t/\hbar}}{\hbar} \underbrace{|<\psi_\lambda^t | U_t | \psi_\mu^s>|^2}_{M_{\mu\lambda}}$$

$$S(x) = \frac{1}{\pi} \lim_{\eta \rightarrow 0} \frac{\eta}{x^2 + \eta^2}$$

$$\eta \rightarrow 0 \quad \omega_{\mu\lambda} = \frac{2\pi}{\hbar} S(\epsilon_\lambda^t - \epsilon_\mu^s) |M_{\mu\lambda}|^2$$

nicht nur ein Zustand λ , sondern viele \Rightarrow

$$\rightarrow I_{s \rightarrow t} = 2 \frac{2\pi e}{\hbar} \sum_{\mu\nu} \underbrace{f(\epsilon_\mu^s - \epsilon_\nu^s)}_{\text{Spin}} \underbrace{[1 - f(\epsilon_\nu^t - \epsilon_\tau^t)]}_{\substack{\text{besetzter Proben-} \\ \text{zustand}}} \underbrace{\cdot |M_{\mu\nu}|^2 \delta(\epsilon_\nu^t - \epsilon_\tau^t)}_{\substack{\text{unbesetzter Spalten-} \\ \text{zustand}}}$$

$$I_{t \rightarrow s} = " \sum_{\mu\nu} f(\epsilon_\nu^t - \epsilon_\tau^t) [1 - f(\epsilon_\mu^s - \epsilon_\tau^s)] \cdot |M_{\mu\nu}|^2 \delta(\epsilon_\nu^t - \epsilon_\mu^s)$$

$$\Rightarrow \text{Nettostrom } I = \frac{4\pi e}{\hbar} \sum_{\mu\nu} [f(\epsilon_\mu^s - \epsilon_\tau^s) - f(\epsilon_\nu^t - \epsilon_\tau^t)] |M_{\mu\nu}|^2 S(\epsilon_\nu^t - \epsilon_\mu^s)$$

mit Spannung V (vernachlässige Veränderung der WF aufgrund von V)

$$\Rightarrow I = \frac{4\pi e}{\hbar} \sum_{\mu\nu} [f(\epsilon_\mu^s - \epsilon_\tau^s) - f(\epsilon_\nu^t - \epsilon_\tau^t)] |M_{\mu\nu}|^2 S(\epsilon_\nu^t - \epsilon_\mu^s - eV)$$

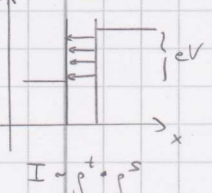
Bardeen Formel

$$I = \frac{4\pi e}{\hbar} \int_{-\infty}^{+\infty} [f(\epsilon_\tau^t - eV + \varepsilon) - f(\epsilon_\tau^s + \varepsilon)] \underbrace{\int^t (\epsilon_\tau^t - eV + \varepsilon) \int^s (\epsilon_\tau^s + \varepsilon)}_{\substack{\text{in } M \text{ steckt} \\ \text{Distanzabhängigkeit von } I}} \cdot |M(\epsilon_\tau^s + \varepsilon, \epsilon_\tau^t - eV + \varepsilon)|^2 d\varepsilon$$

alle $\mu\nu$ tunneln gleich, wenn sie die selbe Energie haben

für $T \rightarrow 0$

$$I = \frac{4\pi e}{\hbar} \int_0^e \int^t (\epsilon_\tau^t - eV + \varepsilon) \int^s (\epsilon_\tau^s + \varepsilon) |M|^2 d\varepsilon$$



$$M_{\mu\nu} = <\psi_\nu^t | U_t | \psi_\mu^s> = \int G_t \psi_\nu^t * U_t \psi_\mu^s dV$$

$$\epsilon_\nu^t = \epsilon_\mu^s = \epsilon \quad U_t = 0 \text{ in } G_s$$

$$= \int_{G_t} \psi_\nu^s U_t \psi_\nu^t * dV = \int_{G_t} \psi_\nu^s (\epsilon + \frac{\hbar^2}{2m} \Delta) \psi_\nu^t * dV$$

$$= \int_{G_t} \psi_\nu^t * (\epsilon \psi_\nu^s) + \psi_\nu^s \frac{\hbar^2}{2m} \Delta \psi_\nu^t * dV$$

$$\begin{aligned}
 &= \int_{G_t} q_v^{t^*} \left(-\frac{\hbar^2}{2m} \Delta + U_s \right) q_\lambda^s + q_\lambda^s \Delta q_v^{t^*} \propto \left(+\frac{\hbar^2}{2m} \right) dV \\
 &= \boxed{-\frac{\hbar^2}{2m} \int_{G_t} q_v^{t^*} \Delta q_\lambda^s - q_\lambda^s \Delta q_v^{t^*} dV} \\
 &= -\frac{\hbar^2}{2m} \sum_{\Sigma} (q_v^{t^*} \vec{\nabla} q_\lambda^s - q_\lambda^s \vec{\nabla} q_v^{t^*}) ds
 \end{aligned}$$

↑ Trennfläche zw. G_t und G_s

Tersoff - Hamann

Ersetz die Spitze mit einem Atom mit s-Wellenfkt. am Ort \vec{R}

Potential am Ort der Spitze ist ≈ 0

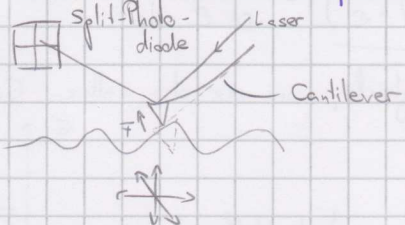
$$q_v^t(\vec{r} - \vec{R}) = C e^{-\kappa(\vec{r} - \vec{R})} / \kappa |\vec{r} - \vec{R}|, \quad \kappa^2 = \frac{2m}{\hbar^2} E$$

$$(\Delta - \kappa^2) G(\vec{r} - \vec{r}') = -4\pi S(\vec{r} - \vec{r}')$$

$$\begin{aligned}
 M_{ps}(\vec{R}) &= -\frac{e\hbar^2}{2m} \int_{G_t} G(\vec{r} - \vec{R}) \Delta q_\lambda^s(\vec{r}) - q_\lambda^s(\vec{r}) \Delta G(\vec{r} - \vec{R}) dV \\
 &\quad \uparrow \kappa^2 \quad \downarrow = \kappa^2 - 4\pi S(\vec{r} - \vec{R})
 \end{aligned}$$

$$\begin{aligned}
 &= -\frac{e\hbar^2}{2m} \int 4\pi S(\vec{r} - \vec{R}) q_\lambda^s(\vec{r}) dV \\
 &= \frac{e\hbar^2}{2m} \cdot 4\pi q_\lambda^s(\vec{R})
 \end{aligned}$$

III. 6 Raster-kraftmikroskopie



- funktioniert gut in Luft

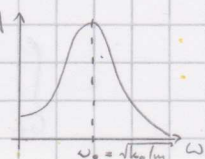
- Probe wird bewegt

"Contact" - Modus: - scannen parallel zum Cantilever \rightarrow constant force

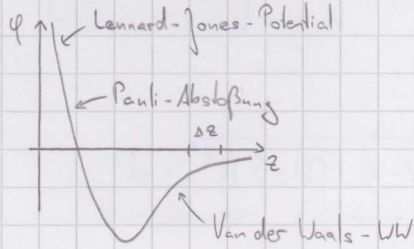
- harte Spitze aus Si oder Diamant
- \rightarrow Abnutzung der Spitze + Beschädigung der Probe
- \rightarrow Modus wird nur zum Messen von Reibung verwendet
- scannen senkrecht zum Cantilever (seitliches Scannen) \rightarrow Torsion des Cantilevers
- \rightarrow Reibungskräfte

"Non-Contact" - Modus: Cantilever wird mechanisch zur

Schwingung angeregt (Amplitude $\sim 1 \mu\text{m}$)



$$U_{\text{pot}} = \frac{1}{2} k_0 (z - z_0)^2, \quad F = k_0 (z - z_0)$$



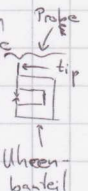
$$F = \frac{\partial}{\partial z} \varphi$$

$$k = \frac{\partial^2}{\partial z^2} \varphi$$

$$\Rightarrow \omega_{\text{res}} = \sqrt{\frac{k_0 k'}{m}} = \sqrt{\frac{k_0 + \frac{\partial F}{\partial z}}{m}} \approx \omega_0 \left(1 - \frac{1}{2} \frac{\partial F}{\partial z}\right)$$

$$\text{Frequenzverschiebung } \Delta \omega = \frac{1}{2} \frac{\partial F}{\partial z}$$

hohe Güte des Oszillators \Rightarrow scharfe Resonanzkurve \Rightarrow präzise Messung

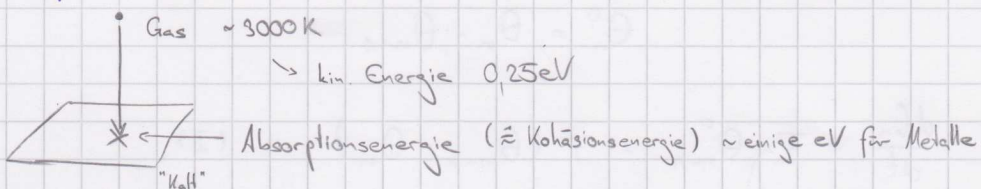


L.J. Crystal growth for beginners

IV Schichtwachstum

Molekularstrahl epitaxie (MBE)

Absorption aus der Gasphase

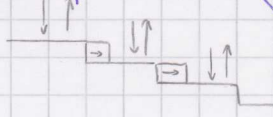


\rightarrow Haftkoeffizient $c \approx 1$, kein Verdampfen von der OT

\rightarrow praktisch senkrechter Einfall $\xrightarrow{0.25 \text{ eV}} - 4 \text{ eV}$ Beschleunigung auf die Probe

IV.1 Homoepitaxie

• Stufenwanderung



$$I(G) = I(G=0)$$

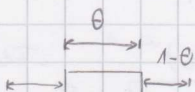
Θ : Bedeckung

• ideales 2D-Wachstum

$G \in [0, 1]$, danach periodische Wiederholung

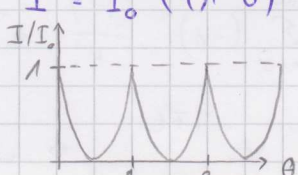
Antiphasenbedingung, d.h. destruktive Interferenz für Abstände

einer Monolage



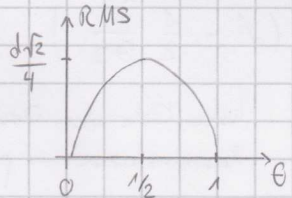
$$I_d = \frac{1}{2} \lambda, \frac{3}{2} \lambda, \dots$$

$$I = I_0 ((1-G) - G)^2 = I_0 (1-2G)^2$$



RMS-Rankigkeit

$$\begin{aligned} w_{\text{rms}} &= \sqrt{\langle (h(x) - \bar{h})^2 \rangle} \quad \bar{h} = \langle h(x) \rangle = \Theta d \\ &= \sqrt{\langle (\theta(x) - \bar{\theta})^2 \rangle} \cdot d \\ &= \sqrt{(\Theta \cdot (1-\Theta))^2 + ((1-\Theta)(0-\Theta))^2} \cdot d \\ &= \sqrt{2} (\Theta - \bar{\theta}) d \end{aligned}$$

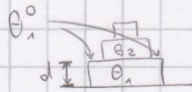


$$d \approx 1-2 \text{ Å}$$

$$\text{RMS} \approx 0.2-0.4 \text{ Å}$$

- ideales 3D-Wachstum

→ Atome bleiben dort liegen, wo sie landen (gilt für T=0K)



Θ_n - Bedeckung der n-ten Lage

Θ_n^o - offene Fläche der n-ten Lage

$$\Theta_n^o = \Theta_n - \Theta_{n+1}$$

$$\frac{d\Theta_n}{dt} = F \cdot \Theta_{n+1}^o = F (\Theta_{n+1} - \Theta_n) \quad (\text{I})$$

$$\sum_{n=1}^{\infty} \frac{d\Theta_n}{dt} = F \quad (\text{II})$$

$$\text{Ansatz: } \frac{d\Theta_n}{dt} = F \frac{(Ft)^{n-1}}{(n-1)!} e^{-Ft} \leftarrow \text{Poisson}$$

$$(\text{II}): \sum_{n=1}^{\infty} \frac{d\Theta_n}{dt} = \sum_{n=1}^{\infty} F \frac{(Ft)^{n-1}}{(n-1)!} e^{-Ft}$$

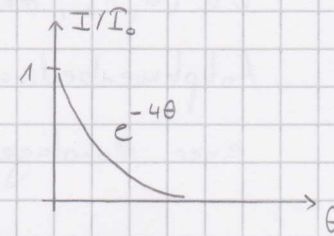
$$= \sum_{n=0}^{\infty} \frac{(Ft)^n}{n!} \cdot F e^{-Ft}$$

$$= F \quad \checkmark$$

$$(\text{I}): \frac{d\Theta_n}{dt} = F \frac{(Ft)^{n-1}}{(n-1)!} e^{-Ft} \stackrel{!}{=} F (\Theta_{n+1} - \Theta_n)$$

$$\Rightarrow \Theta_n = \Theta_{n+1} - \frac{(Ft)^{n-1}}{(n-1)!} e^{-Ft}$$

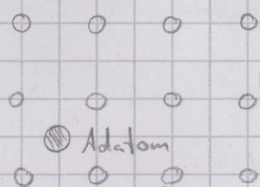
$$\Theta_n = 1 - \sum_{m=1}^n \frac{(Ft)^{m-1}}{(m-1)!} e^{-Ft}$$



$$I = I_0 \left| \sum_{n=0}^{\infty} (-1)^n \Theta_n^o \right|^2 = I_0 \left| \sum_{n=0}^{\infty} (-1)^n \frac{(Ft)^n}{n!} e^{-Ft} \right|^2$$

$$= I_0 e^{-2Ft} \left| \sum_{n=0}^{\infty} \frac{(-Ft)^n}{n!} \right|^2 = I_0 e^{-4Ft} \Rightarrow w_{\text{rms}} = \sqrt{\Theta} d$$

III. 1.1 Oberflächendiffusion



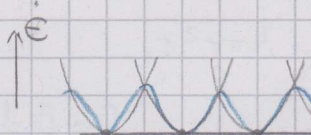
Diffusion: Thermische Bewegung eines Adatoms auf der idealen Oberfläche

Thermische Anregung \Leftrightarrow „hopen“

$$\text{mittlere quadratische Verschiebung } \langle \Delta r^2 \rangle = \frac{n a^2}{\text{Anzahl der „Hops“}} \quad \text{Springweite}$$

$$\text{Diffusionskoeffizient: } D = \frac{\langle \Delta r^2 \rangle}{2t} = \frac{v a^2}{2} \quad \begin{matrix} \downarrow \\ \text{Anzahl d. nächsten Nachbarn} \end{matrix} \quad \begin{matrix} \downarrow \\ \text{Hoppingfrequenz} \end{matrix}$$

$$Z = \begin{cases} 2 & : 1D\text{-Gitter} \\ 4 & : 2D\text{-quadratisches Gitter} \\ 6 & : 2D\text{-hexagonales Gitter} \end{cases}$$



$\} \epsilon_{\text{diff}}$
Diffusionsenergie

$$v = v_0 \exp\left(-\frac{\epsilon_{\text{diff}}}{k_B T}\right)$$

Oszillationsfrequenz d. Atoms
 $\sim 10^{12} \text{ Hz}$

$$\epsilon_{\text{diff}} \approx 5 - 20\% \cdot Q$$

Dissoziationswärme (\sim Energie um Adatom ins Vakuum zu lösen) in Gasphase zu bringen

$$\rightarrow D = \frac{v_0 a^2}{2} \exp\left(-\frac{\epsilon_{\text{diff}}}{k_B T}\right) \ln D_0$$

$$\ln D \uparrow \quad \frac{1}{T} \uparrow$$

Wie groß ist ϵ_{diff} ?

Einfache Regeln für Diffusionsbarriere

- ① Höhe der Barriere ist proportional zur Anzahl von Bindungen
- ② Barriere skaliert mit der Schmelztemperatur

Orientierungsanisotropie: Der Diffusionskoeffizient hängt von der Oberflächenorientierung ab.

- a) Kristallographische Anisotropie
- b) Morphologische Anisotropie

Atomistische Mechanismen

- ① Hopping Mechanismus
- ② Atom-Austausch "
- ③ Tunnel- "
- ④ Leerstellen "

Interalagen-Transport \rightarrow Diffusion von Adatomen auf der Terrassen

Interlagen-Transport \rightarrow Diffusion von Adatomen über Stufenkanten

IV.2 Nukleation

3D: Wassertropfen im Wasserglas

Gibbsche freie Energie G , $T = \text{const}$, $p = \text{const}$

für das Gas $G_g = n\mu_g$, n : Anzahl der Teilchen

$\mu_g = \mu_0(p, T)$: chemisches Potential

$$\text{Tropfen im Gas: } G_{gt} = (n - n_t)\mu_g + n_t \mu_t + \frac{4\pi r^2 \sigma_t}{r}$$

$$\Delta G = G_{gt} - G_g = n_t (\mu_t - \mu_g) + 4\pi r^2 \sigma_t \quad | \quad n_t = \frac{4\pi}{3} r^3 \frac{1}{V}$$

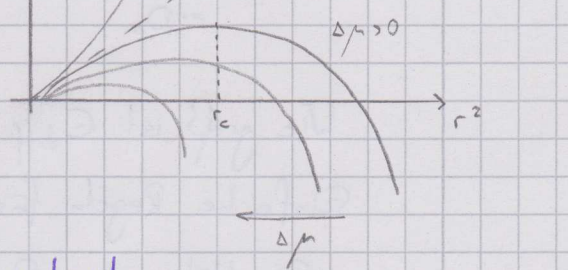
$$= 4\pi r^2 \sigma_t - \frac{4\pi}{3} r^3 \Delta \mu$$

ΔG

Radius des Tropfens
 $\approx -\Delta \mu$
 Oberflächenspannung

$\Delta \mu < 0$
 $\Delta \mu = 0$
 Teilchenanzahl in Flüssigkeit

Kritischer Keim: Tropfen mit maximaler freier Energie



Für 2D-Wachstum \Rightarrow Tropfen \rightarrow Insel
Gas \rightarrow Adatome

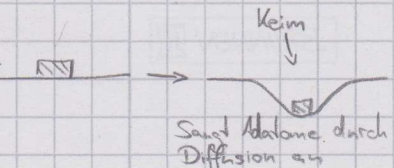
$$\sigma \rightarrow \sigma$$

Beispiel: Ag (111) bei 300 K

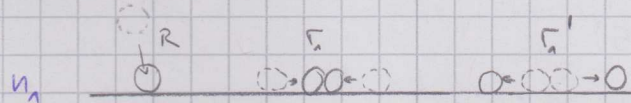
$$\Delta E = 500 \text{ meV} \Rightarrow n_g = e^{-\frac{500}{25}} \rightarrow 2 \cdot 10^{-9} \text{ ML}$$

$$\Rightarrow \sigma \gg 1$$

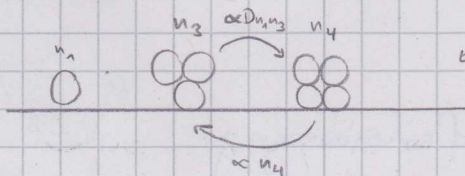
\Rightarrow Kritischer Keim ist nur wenige Atome groß:



Inseldichte



$$\frac{dn_n}{dt} \propto R - 2r + 2r'$$



Annahme: Cluster aus j Atomen bildet sich aus Einzelatom + Cluster mit $j-1$ Atomen

$$\Rightarrow \frac{dn_n}{dt} = R - 2r + \sum_{j \geq 2} r_j$$

$$\frac{dn_{j \geq 2}}{dt} = r_{j-1} - r_j$$

$$r_j = \sigma_j D_{n,n_j} - S_{j+1} n_{j+1}$$

$$r_{j-1} = \sigma_{j-1} D_{n,n_{j-1}} - S_j n_j$$

mit D: Diffusionskoeffizient

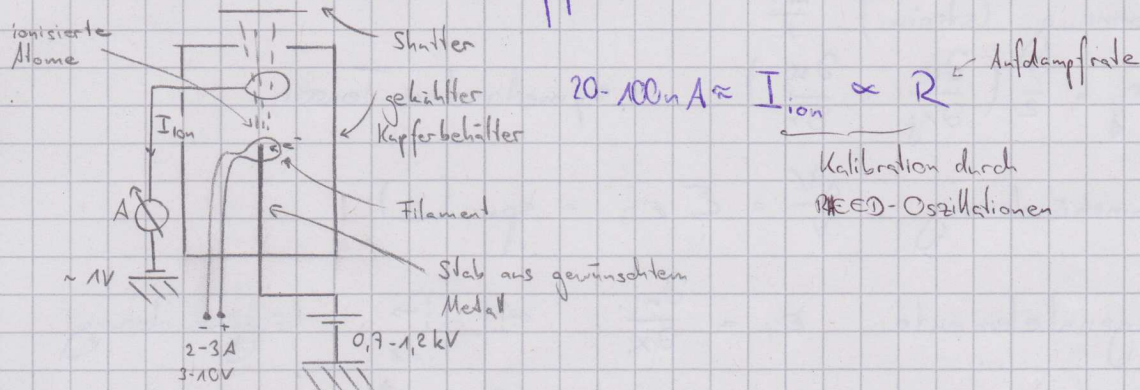
$$S_j = D \exp\left(-\frac{\sigma_j - \sigma_{j-1}}{k_B T}\right)$$

σ : Einfangquerschnitt

Annahme für stabile Isolde: für $j > i^*$ \rightarrow kein Zerfall, d.h. $S_{j>i^*} = 0$

$$\Rightarrow \frac{dn_x}{dt} = \sigma_{i^*} D_{n,n_{i^*}}$$

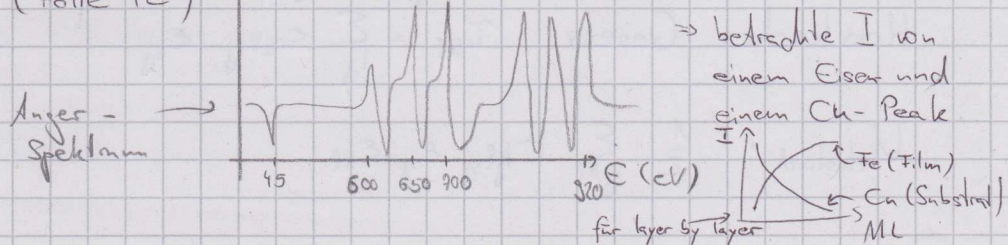
Elektronenstrahlverdampfer



$$20-100 \mu\text{m} \approx I_{\text{ion}} \propto R$$

Aufdampfrate
Kalibration durch
RHEED-Oszillationen

Wachstumsmodus bei Heteroepitaxie durch Anger-Spektroskopie erkennen (Folie 42)

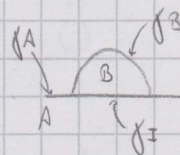


IV. 4 Wachstumsmanipulation

1. Temperatur (s. Folie 35)
2. „Surfactant“ (s. Folie 37/38/39) Surfactant beeinflusst SE-BARRIERE
3. Keimbildung durch Ionenbeschuss (s. Folie 36)

Multilayerwachstum

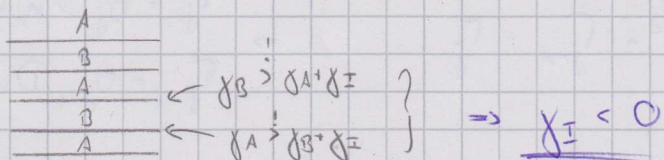
eine Lage: Minimierung der Oberflächenenergie γ :



$$\gamma_A > \gamma_B + \gamma_I \Rightarrow 2D$$

$$\gamma_I < \gamma_B + \gamma_I \Rightarrow 3D$$

Multilayer:



Material will OT maximieren

\Rightarrow es bildet sich (mit der Zeit)

Legierung:



Wulff-Konstruktion: Oberflächenenergie Richtungsabhängig!

\Rightarrow bestimmt Form des Kristalls

Elastizitätstheorie von Kristallen

Verformung (strain) $\frac{\Delta x}{x}$

$$\varepsilon_{ij} = \frac{1}{2} \left(\frac{\partial u_i}{\partial x_j} + \frac{\partial u_j}{\partial x_i} \right) \quad \text{symmetrischer Tensor}$$

$$\text{Volumenänderung} \quad \frac{\Delta V}{V} = \sum_i \varepsilon_{ii} = \text{spur}(\varepsilon)$$

$$\text{Diagonalelemente: } \varepsilon_{ii} = \frac{\partial u_i}{\partial x_i} \quad \leftarrow \boxed{i} \rightarrow \quad \text{Längenänderung}$$

$$\text{off-Diagonalelemente: } \varepsilon_{ij} = \frac{1}{2} \left(\frac{\partial u_i}{\partial x_j} + \frac{\partial u_j}{\partial x_i} \right) \quad \boxed{j} \quad \text{Scherung}$$

assoziierte Kräfte: Spannungen (stress): τ_{kl}

$$\text{Hooke'sches Gesetz: } \tau_{kl} = \sum_{ij} c_{ijkl} \varepsilon_{ij} \quad c_{ijkl}: \text{"Federkonstanten"}$$

$$\text{U}_{\text{elastisch}} = \frac{1}{2} \sum_{ijkl} c_{ijkl} \varepsilon_{ij} \varepsilon_{kl} \quad i, j, k, l \in \{1, 2, 3\}$$

$$\varepsilon_{ij} = \varepsilon_{ji} \rightarrow ij$$

11 → 1
 22 → 2
 33 → 3
 23 → 4
 13 → 5
 12 → 6

$$\Rightarrow \boldsymbol{\varepsilon} = \begin{pmatrix} \varepsilon_{11} \\ \varepsilon_{22} \\ \varepsilon_{33} \\ \varepsilon_{23} \\ \varepsilon_{13} \\ \varepsilon_{12} \end{pmatrix}, \quad \text{ebenso für } \boldsymbol{\tau}_{kl}, \quad c_{kl,ij} \rightarrow c: 6 \times 6 \text{ Matrix}$$

$$c_{ij} = \varepsilon_{ji}$$

→ kubischer Kristall m3m

$$\Rightarrow c_{11} = c_{22} = c_{33}$$

$$c_{44} = c_{55} = c_{66}$$

$c_{45} = 0$: Scherkraft in eine Richtung erzeugt keine Scherung in senkrechte Richtung

$c_{14} = 0$, Scherung in eine Richtung erzeugt keine Kompression

kubisch:

$$\Rightarrow C = \left(\begin{array}{ccc|c} c_{11} & c_{12} & c_{12} & 0 \\ c_{12} & c_{11} & c_{12} & \\ c_{12} & c_{12} & c_{11} & \\ \hline 0 & & & c_{44} \\ & & & c_{44} \\ 0 & & & c_{44} \end{array} \right)$$

hexagonal:

$$C = \left(\begin{array}{ccc|c} c_{11} & c_{12} & c_{13} & 0 \\ c_{12} & c_{11} & c_{13} & \\ c_{13} & c_{13} & c_{33} & \\ \hline 0 & & & c_{44} \\ & & & c_{44} \\ 0 & & & c_{66} \end{array} \right)$$

$$\varepsilon_{kl} = \sum_j S_{kl;j} T_{ij} \quad S_{kl;j} : \text{Elastizitätsensor}$$

isotrope Medien: $S_{44} = 2(S_{11} - S_{12})$

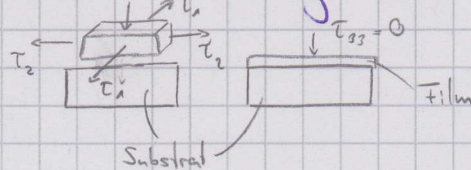
Young-Modulus: $Y = \frac{1}{S_{11}}$

Poisson-Verhältnis: $\nu = -\frac{S_{12}}{S_{11}}$

Folie mit (a) bcc Fe, (b) bcc Mo, (c) bcc W, ...

Abstand Ursprung-Fläche $\hat{=} S_{11;j}$ \rightarrow Abstand klein \Rightarrow Kristall in dieser Richtung hart

Elastische Energie eines verspannten Films



Kraft L. Oberfläche $\tau_3 = 0$

$$\varepsilon_1 = S_{11} \tau_1 + S_{12} \tau_2$$

kubischer Kristall: $\tau_{11} = \tau_{22} = \tau$

$$\varepsilon_2 = S_{12} \tau_1 + S_{11} \tau_2 \quad \Rightarrow \quad \varepsilon_1 = \varepsilon_2 = \varepsilon$$

$$\Rightarrow \varepsilon = S_{11} \tau + S_{12} \tau = (S_{11} + S_{12}) \tau$$

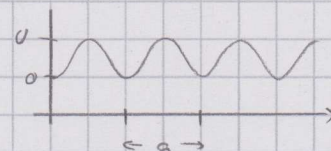
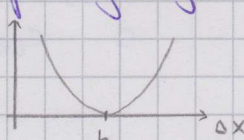
$$dU_d = \tau d\varepsilon + \tau d\varepsilon = 2\tau d\varepsilon = \frac{2 d\varepsilon \cdot \varepsilon}{S_{12} + S_{11}}$$

$$U_d = \frac{\varepsilon^2}{S_{11} + S_{12}} \cdot t = \varepsilon^2 \frac{\gamma}{1-\nu} \cdot t \quad | t: \text{Schichtdicke}$$

\ Energie / Fläche, exp. Messung s. Folien

Frenkel-Kontorova Modell

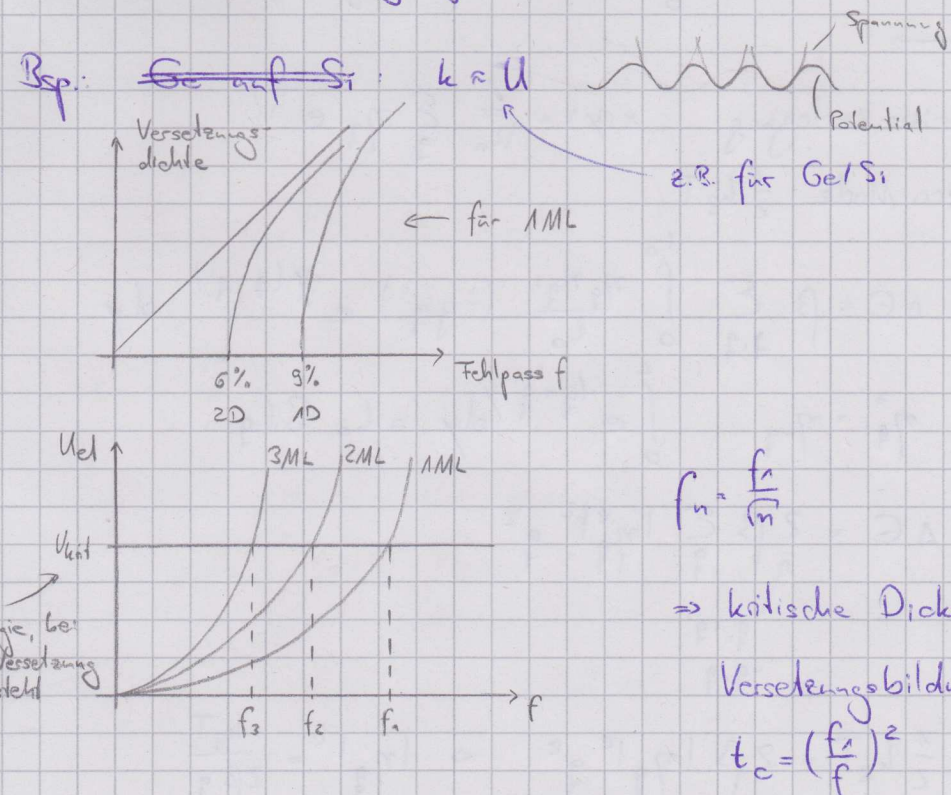
$$H = \sum_n \underbrace{\frac{1}{2} k \left(\underbrace{x_{n+a} - x_n - b}_{\text{Abstand}} \right)^2}_{\text{"Federkonstante"} \quad \text{Vergangungsenergie}} + \underbrace{U \left(1 - \cos \left(2\pi x_n / a \right) \right)}_{\substack{\text{naturliche} \\ \text{Gitterkonstante} \\ \text{periodisches Potential} \\ \text{für Adsorption auf} \\ \text{Substrat}}}$$



$a = b$: keine Verspannung, $a < b$: Druckspannung

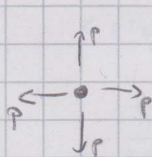
$a > b$: Zugspannung

Wenn elastische Energie groß genug ist, um einen "Sprung" im Absorptionspotential zu erzeugen, wird eine Versetzung gebildet.



IV.6 Thermische Stabilität von Nanostrukturen

Brown'sche Bewegung

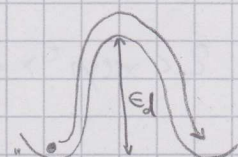


p: Wahrscheinlichkeit, innerhalb einer Zeit einen elementaren

Sprung zu machen

$$D = D_0 \cdot e^{-\frac{E_d}{kT}}$$

Zeiten $t_1, t_2, t_3, \dots, t_N$ Abh. von "Klopfenfrequenz"



$$(\Delta x_i, \Delta y_i) = (x(t_i) - x(t_{i-1}), y(t_i) - y(t_{i-1}))$$

$$\text{Distanz zum Startpunkt: } R^2 = (\Delta x_1 + \dots + \Delta x_N)^2 + (\Delta y_1 + \dots + \Delta y_N)^2$$

§ Stufenfluktuationen

β : Stufenspannung [J/m]

$$\Delta E = \beta \int_0^L ds - L_0 \approx \beta \int_0^L \left(\frac{\partial x}{\partial y} \right)^2 dy$$

Fourierzerlegung $x(y) = \frac{1}{L_0} \sum_q \eta_q e^{iqy}$

pro Mode $\frac{1}{2} k_B T$

$$\Rightarrow \Delta E = \beta \sum_{q,q'} \int_0^L \frac{\eta_q \eta_{q'}}{L_0} (-q q') e^{i(q+q')y} dy$$

$$\eta_q^* = \eta_{-q}, \quad \int_0^L e^{i(q+q')y} dy = L_0 S(q)$$

$$\Rightarrow \Delta E = 2 \beta \sum_q |\eta_q|^2 \frac{k_B T}{q^2}$$

η_q
 $-q$
 q

$$\frac{1}{2} k_B T = 2 \beta |\eta_q|^2 \frac{k_B T}{q^2} \Rightarrow |\eta_q|^2 = \frac{k_B T}{2 \beta q^2}$$

$$G(y, y') = \langle (x(y) - x(y'))^2 \rangle$$

$$= \langle x(y)^2 \rangle - 2 \langle x(y) x(y') \rangle + \langle x(y')^2 \rangle$$

$$= 2 \langle x(y)^2 \rangle - 2 \langle x(y) x(y') \rangle$$

$$2 \langle x(y)^2 \rangle = \frac{2}{L_0} \sum_q |\eta_q|^2 = \frac{2 k_B T}{4 \beta L_0} \sum_q \frac{1}{q^2}$$

$$2 \langle x(y) x(y') \rangle = \frac{2}{L_0} \left\langle \sum_{q,q'} \eta_q e^{iqy} \eta_{-q'} e^{-iq'y'} \right\rangle$$

$$= \frac{2}{L_0} \left\langle \sum_{q,q'} \eta_q \eta_{-q'} e^{i(q-q')y} e^{i(q'-q)y'} \right\rangle$$

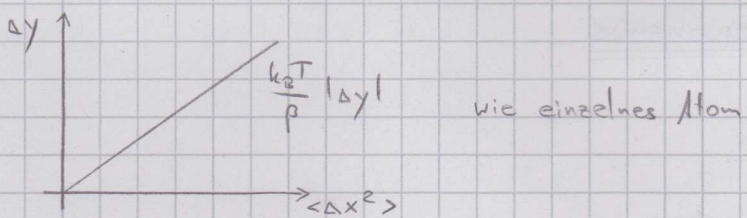
$$= \frac{2}{L_0} \sum_q \left\langle |\eta_q|^2 e^{i2q(y-y')} \right\rangle$$

$$= \frac{2 k_B T}{4 \beta L_0} \sum_q \frac{1}{q^2} e^{i2q(y-y')}$$

$$\frac{1}{L_0} \sum_q \rightarrow \frac{1}{(2\pi)} \int dk$$

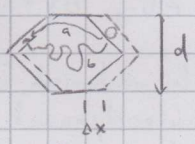
$$\Rightarrow \langle (x(y) - x(y'))^2 \rangle = \frac{k_B T}{2 \beta} \frac{1}{2\pi} \int_{-\infty}^{+\infty} \frac{1}{q^2} (1 - \cos(q(y-y'))) dq$$

$$= \frac{k_B T}{\beta} |y-y'|$$



Inseldiffusion

Dichte der Atome



$$d S_x \cdot n_t = \sqrt{N(St)}$$

Schwerpunkt der Insel bewegt sich prop zur Wurzel der bewegten Teilchen
Anzahl der bewegten Atome

$$N(St) = N_0 \frac{St}{\tau}$$

N_0 : Zahl der Teilchen auf dem Weg

τ : Zeit für die Wegstrecke

Loch wandert \rightarrow

$$S_x^2 = \frac{N(St)}{(d n_t)^2} = \frac{N_0 St}{\tau d^2 n_t}$$

Dichte

Zahl der Adatome an der Stufenkante

a: Randdiffusion $N_0 \propto \text{fst} \cdot d$

d Länge der Stufe

b: Terrassendiffusion $N_0 \propto \text{fst} \cdot d^2$

d Fläche der Terasse

$\Delta x = d$ (von einer Seite zur anderen Seite)

$\Delta x \approx \langle \Delta x^2 \rangle \approx D_{st} t$

$$a: \tau \propto \frac{d^2}{D_{st}}$$

D_{st} : Diffusionskonst. für Diff entlang Stufe

$$b: \tau \propto \frac{d^2}{D_t}$$

D_t : ... auf Terasse

$$\Rightarrow a: S_x^2 \propto \frac{\text{fst} \cdot d}{d^2 n_t}$$

$$n_t \propto \frac{1}{d^2} \quad \text{St} \propto \frac{1}{d^3}$$

$$b: S_x^2 \propto \frac{\text{fst} \cdot d^2}{d^2 n_t} \quad \text{St} \propto \frac{1}{d^2}$$

Gibbs - Thomson - Beziehung

$$\text{Dampfdruck: } p(r) = p(\infty) e^{-\gamma/(n_t r k_B T)}$$

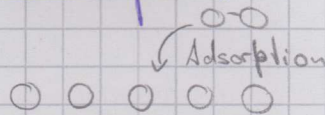
Krümmungsradius

Ostwaldreifung: kleine Teilchen schrumpfen, große wachsen

höherer Dampfdruck

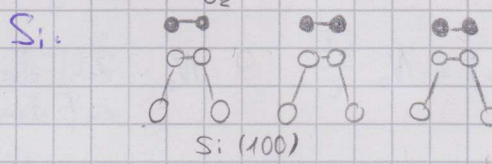
V. Oberflächenchemie

V.1 Adsorption



- Physisorption: Adsorption ohne chemische Reaktion

(Adsorptionsenergie typischerweise $< 0,5 \text{ eV}$, oft nur über van-der-Waals Kräfte ← quantenmechanisch aus QT-Elektrodynamik)



Beispiele: Ar/Cu(111) , ${}^3\text{He/C}$

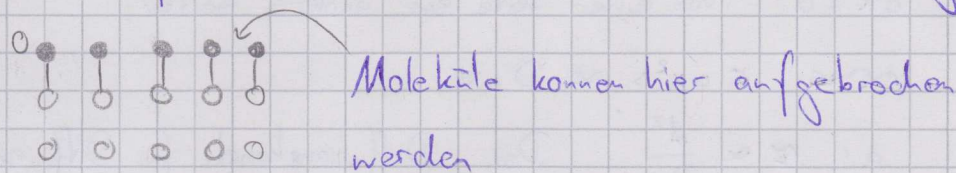
↓ Methode um tiefe T zu erreichen

- Kondensation

Physisorption von ~~mehreren~~ S dickeren Schichten

$$T_{\text{Physisorption}} > T_{\text{Kondensation}}$$

- Chemisorption: hier entsteht eine chemische Bindung $E > 0,5 \text{ eV}$



Bsp.: $\text{O}_2 / \text{Pt (111)}$

$\text{CO} / \text{Ni (111)}$

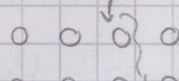
$T < 300 \text{ K} \rightarrow \text{Physisorption}$

$T \geq 300 \text{ K} \rightarrow \text{Chemisorption}$ $\text{O} / \text{Pt (111)}$

$\text{C} / \text{Ni (111)}$

$\text{H}_2 \rightarrow 2\text{H} / \text{Ni (111)}$

- Segregation: Adsorption gefolgt von einer Diffusion in die Tiefe

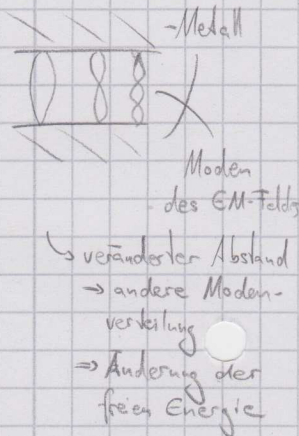


Bsp.: H_2 in Pd: spaltet an der OT auf

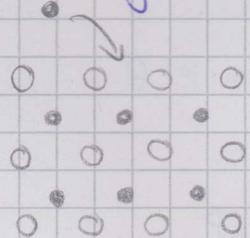


in 2H , H diffundiert in Pd

⇒ Wasserstofftank: Pd speichert bis zu 2H pro Pd-Atom



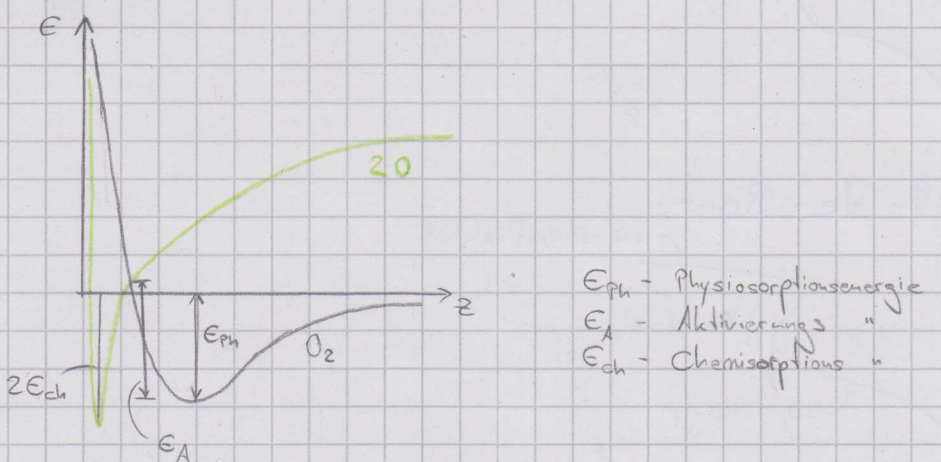
- Verbindungsbildung



Bsp.: Oxidation von Aluminium

Adsorptionskinetik

$O_2 / Pt (111)$



1. Haftkoeffizient von O_2 muss kleiner sein als 1

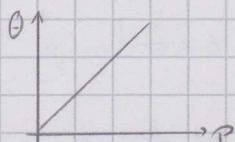
$$S = e^{-\epsilon_A/k_B T} / e^{-\epsilon_{ph}/k_B T} < 1$$

II.2 Adsorptionsthermen

Relation der Bedeckung θ und dem Gasdruck P

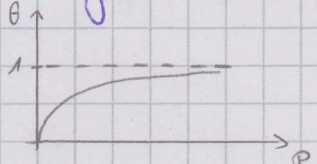
- Henry - Isotherme

$$\theta = \kappa P, \quad \kappa: \text{Haftkoeffizient}$$



gilt oft für $\theta \ll 1$

- Langmuir - Isotherme



lokale Adsorption, keine WW zwischen Adsorbaten, jeder Platz nur einfach besetzbbar

$$\frac{d\theta}{dt} = \kappa (1-\theta) \cdot P \quad \text{Adsorption}$$

$$\frac{d\theta}{dt} = -K' \theta \quad \text{Desorption}$$

Gleichgewicht: $K(1-\theta)P = K' \theta$

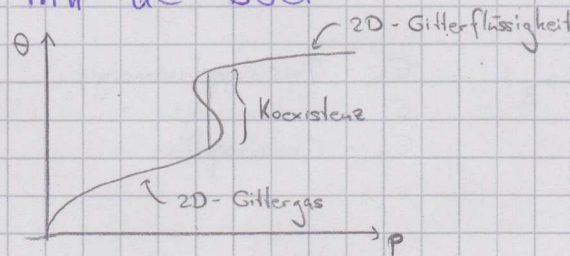
$$\Rightarrow \theta = \frac{KP}{K' + KP}$$

$$\theta \ll 1 \Rightarrow \theta \propto P$$

- Brunauer - Emmett - Teller

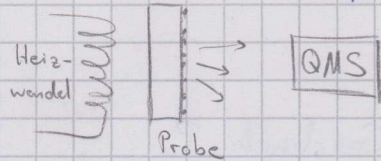


- Hill - de - Boer



IV.3 Desorption

Thermische Desorptionspektroskopie



$$T(t) = T_0 + aT$$

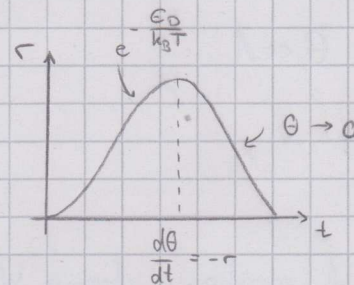
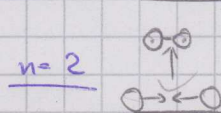
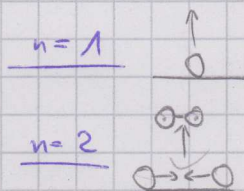
$$\text{Desorptionsrate: } r = \theta^n v_0 e^{-\frac{E_D}{k_B T}}$$

θ : Bedeckung

v_0 : Versuchsfrequenz

E_D : Desorptionsbarriere

n : Desorptionsordnung



Maximum bei: $\frac{dr}{dt} = 0$

$$\Rightarrow \frac{d^2\theta}{dt^2} = 0$$

$$n=1 \quad nr=2$$

$$\frac{d^2\Theta}{dt^2} = -\frac{d}{dt} \left(\Theta^2(t) v_0 e^{-\frac{E_D}{k_B T}} \right) = 0$$

$$\Rightarrow -v_0 \left(\underbrace{\left(\frac{d}{dt} \Theta^2(t) \right)}_{2\Theta \cdot \Theta'(t)} e^{-\frac{E_D}{k_B T}} + \Theta^2(t) \left(\frac{d}{dt} e^{-\frac{E_D}{k_B T}} \right) \right) = 0 \quad | : (-v_0)$$

$$-v_0 \cancel{2\Theta^2(t)} e^{-\frac{E_D}{k_B T}} e^{-\frac{E_D}{k_B T}} + \Theta^2(t) e^{-\frac{E_D}{k_B T}} \left(-E_D \frac{-\alpha k_B}{(k_B(T_0+\alpha t))^2} \right) = 0$$

$$2\Theta \cdot \left(-v_0 e^{-\frac{E_D}{k_B T}} \right) + \frac{E_D}{(k_B(T_0+\alpha t))^2} k_B \alpha = 0$$

$$\Rightarrow \frac{E_D \alpha}{k_B T_{\max}^2} = v_0 e^{-E_D/k_B T_{\max}} \cdot 2\Theta \Rightarrow T_{\max} \text{ hängt nicht von } \Theta \text{ ab}$$

$n=1 : T_{\max}$ hängt nicht von Θ ab

$n=2 : T_{\max}$ hängt von Θ ab : $\Theta \uparrow T_{\max} \downarrow$